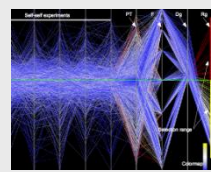


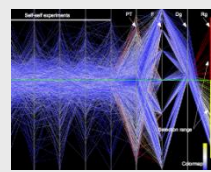
Informations- visualisierung

Thema:	5. Darstellung von Graphen
Dozent:	Prof. Dr. Geric Scheuermann scheuermann@informatik.uni-leipzig.de
Sprechstunde:	nach Vereinbarung
Umfang:	2
Prüfungsfach:	Modul Fortgeschrittene Computergraphik Medizininformatik, Angewandte Informatik



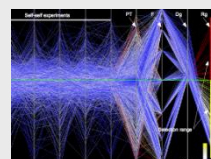
Darstellung von Graphen

- Zu visualisierende Entitäten besitzen häufig **inhärente Relation** (Beziehung oder Abhängigkeit)
- Dann: **Graphen eignen sich als Repräsentation**, Knoten stellen Entitäten, Kanten die Relation dar
- Dieser Fall tritt häufig auf: **Verzeichnishierarchie** eines Computersystems
- Typische Fragestellungen:
 - Wo bin ich?
 - Wo ist die gesuchte Datei?
- Weitere typische Anwendungen
 - Organigramm einer Firma
 - Projektmanagement (z. B. Project Evaluation and Review Technique - PERT)
 - Soziale Netzwerke
 - Taxonomie biologischer Arten (bei Abstammung: phylogenetische Bäume)
 - Biochemische Reaktionen, speziell Stoffwechselsysteme oder Signalwege



Darstellung von Graphen

- Ähnlichkeiten von Dokumenten
- Semantische Netzwerke und Wissensrepräsentationsdiagramme
- Webseiten und ihre Links
- Szenengraphen in der virtuellen Realität
- Datenstrukturen, insbesondere bei Compilern
- Strukturen objektorientierter Systeme (Klassenhierarchie, Datenfluss)
- Realzeitsystem (Zustandsdiagramme)
- Schaltkreisentwurf (Very Large System Integration VLSI)



5.1 Definition

Graphen

Ein (einfacher) **Graph** $G=(V,E)$ besteht aus endlicher Menge V von **Knoten** und endlicher Menge $E \subset \{\{v_i,v_j\} \wedge i \neq j \wedge v_i,v_j \in V\}$ **ungerichteter Kanten**.

Wenn $\{u,v\}$ Kante ist, so heißen u und v **adjazent** (benachbart).

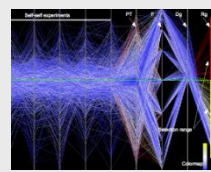
Nachbarn von $v \in V$ sind alle adjazenten Knoten.

Anzahl der Nachbarn ist **Grad** von v : $|v|$.

Ein **Weg** in Graph G ist Folge (v_1,v_2,\dots,v_h) verschiedener Knoten von G , so dass $\{v_i,v_{i+1}\}$ Kante für $i=1,\dots,h-1$ ist.

Ein Weg heißt **Zyklus**, falls $\{v_h,v_1\}$ Kante ist.

Ein Graph ohne Zyklus heißt **azyklischer Graph**.



5.1 Definition

Graphen (Fortsetzung)

Ein Graph (V',E') mit $V' \subseteq V$ und $E' \subseteq E \cap (V' \times V')$ heißt **Teilgraph von G**.

Im Fall $E' = E \cap (V' \times V')$ heißt G' durch V' **induzierter Teilgraph von G**.

Graph $G=(V,E)$ mit n Knoten kann durch $n \times n$ **Adjazenzmatrix A** beschrieben werden, wobei $A_{i,v} = 1$ wenn $\{u,v\} \in E$, und $A_{i,v}=0$ sonst.

	1	2	3	4	5
1	0	1	1	1	1
2	1	0	1	1	0
3	1	1	0	1	0
4	1	1	1	0	1
5	1	0	0	1	0

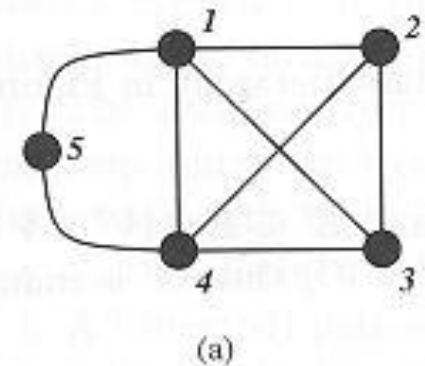
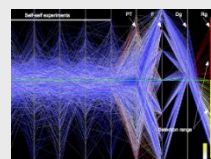


Table 1.1: An adjacency matrix for graph G_1 shown in Figure 1.5.a.



5.1 Definition

Digraphen

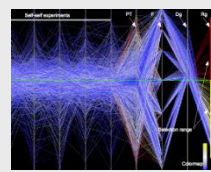
Ein gerichteter **Graph** oder **Digraph** $G=(V,E)$ besteht aus endliche Menge V von **Knoten** und endliche Menge $E \subset V \times V$ **gerichteter Kanten**.

Die gerichtete Kante (u,v) ist **ausgehende Kante** für u , und **eingehende Kante** für v .

Knoten ohne ausgehende Kanten heißen **Senken**, Knoten ohne eingehende Kanten heißen **Quellen**.

Ingrad von v ist Anzahl eingehender Kanten.

Ausgrad von v ist Anzahl ausgehender Kanten.



5.1 Definition

Digraphen (Fortsetzung)

Ein **gerichteter Weg in G** ist Folge (v_1, v_2, \dots, v_h) von Knoten in G, so dass (v_i, v_{i+1}) gerichtete Kante in G für $i=1, \dots, h-1$ ist.

Ein gerichteter Weg heißt **Zyklus**, falls (v_h, v_1) gerichtete Kante in G ist.

Ein **gerichteter azyklischer Graph (DAG)** ist gerichteter Graph ohne Zyklus.

Zu einem Digraph gibt es immer Graph G, der durch „Vergessen der Orientierung der Kanten“ entsteht.

5.1 Definition

Digraphen (Fortsetzung)

Kante (u,v) eines Digraphen G heißt **transitiv**, falls es einen Weg von u nach v gibt, der nicht durch (u,v) läuft.

Transitiver Abschluss von G ist Graph mit gleicher Knotenmenge und Kante (u,v) für jeden Weg von u nach v in G .

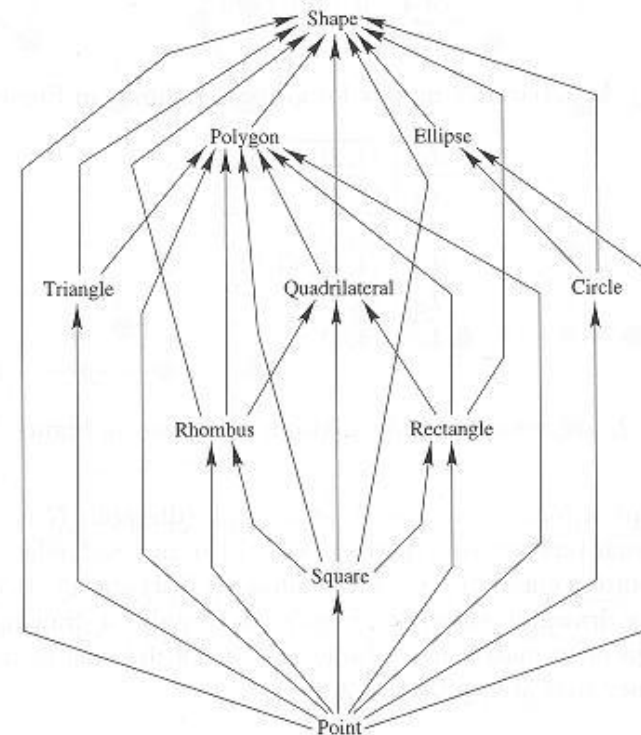
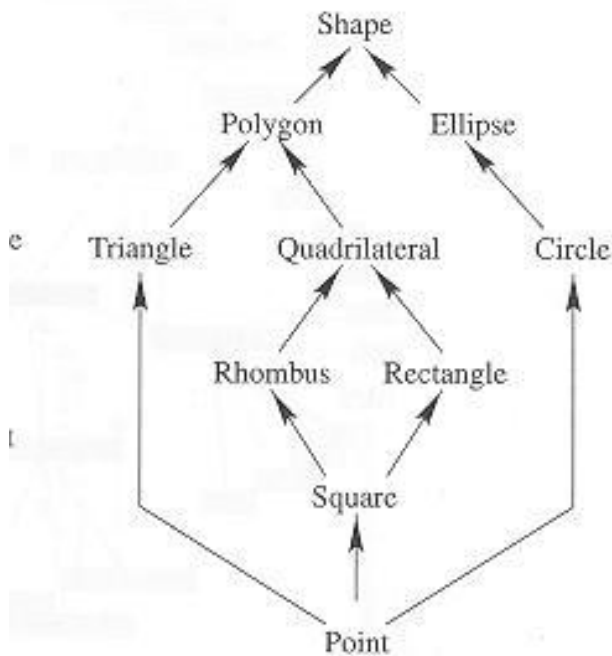
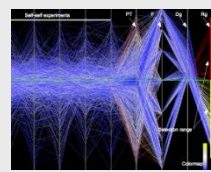


Figure 1.4: The transitive closure of the class hierarchy in Figure 1.3.

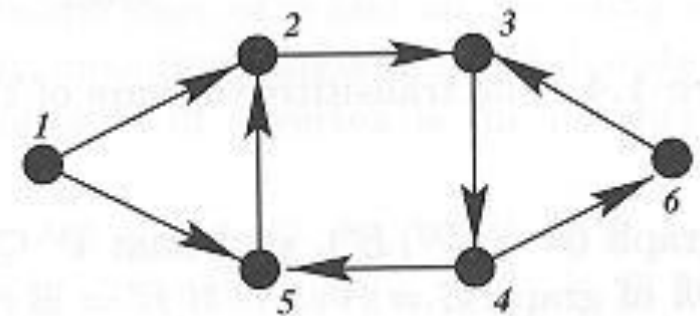


5.1 Definition

Digraphen (Fortsetzung)

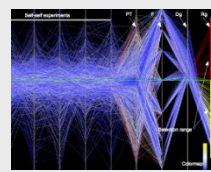
Adjazenzmatrix A eines Digraphen $G=(V,E)$ mit n Knoten ist $n \times n$ Matrix mit $A_{uv}=1$ für $(u,v) \in E$ und $A_{uv}=0$ sonst;. A ist im Allgemeinen **nicht symmetrisch**. Adjazenzliste eines Digraphen ist **Liste**, mit einem Eintrag für jede Kante.

L_1	(1, 2), (1, 5)
L_2	(2, 3)
L_3	(3, 4)
L_4	(4, 5), (4, 6)
L_5	(5, 2)
L_6	(6, 3)



(b)

Table 1.2: Adjacency lists for digraph G_2 shown in Figure 1.5.b.



5.1 Definition

Eine **Zeichnung** eines Graphen oder Digraphen G ist Abbildung Γ vom Graphen in Ebene:

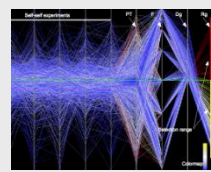
- Sie ordnet jedem Knoten v einen Punkt $G(v)$ und jeder Kante eine offene Jordankurve $G(u,v)$ zu, die die Punkte $G(u)$ und $G(v)$ als Endpunkte hat.
- Gerichtete Kanten eines Digraphen werden in der Regel **als Pfeile** gezeichnet.

Eine **Zeichnung** eines Graphen oder Digraphen heißt **planar**, wenn sich Kurven zweier verschiedener Kanten höchstens in Endpunkten schneiden.

Ein **Graph oder Digraph heißt planar**, wenn es mindestens eine planare Zeichnung gibt.

Man beachte, dass **nicht alle Graphen planar** sind.

Nach der **Eulerformel** kann ein planarer Graph mit n Knoten **höchstens** $3n-6$ Kanten haben!



5.1 Definition

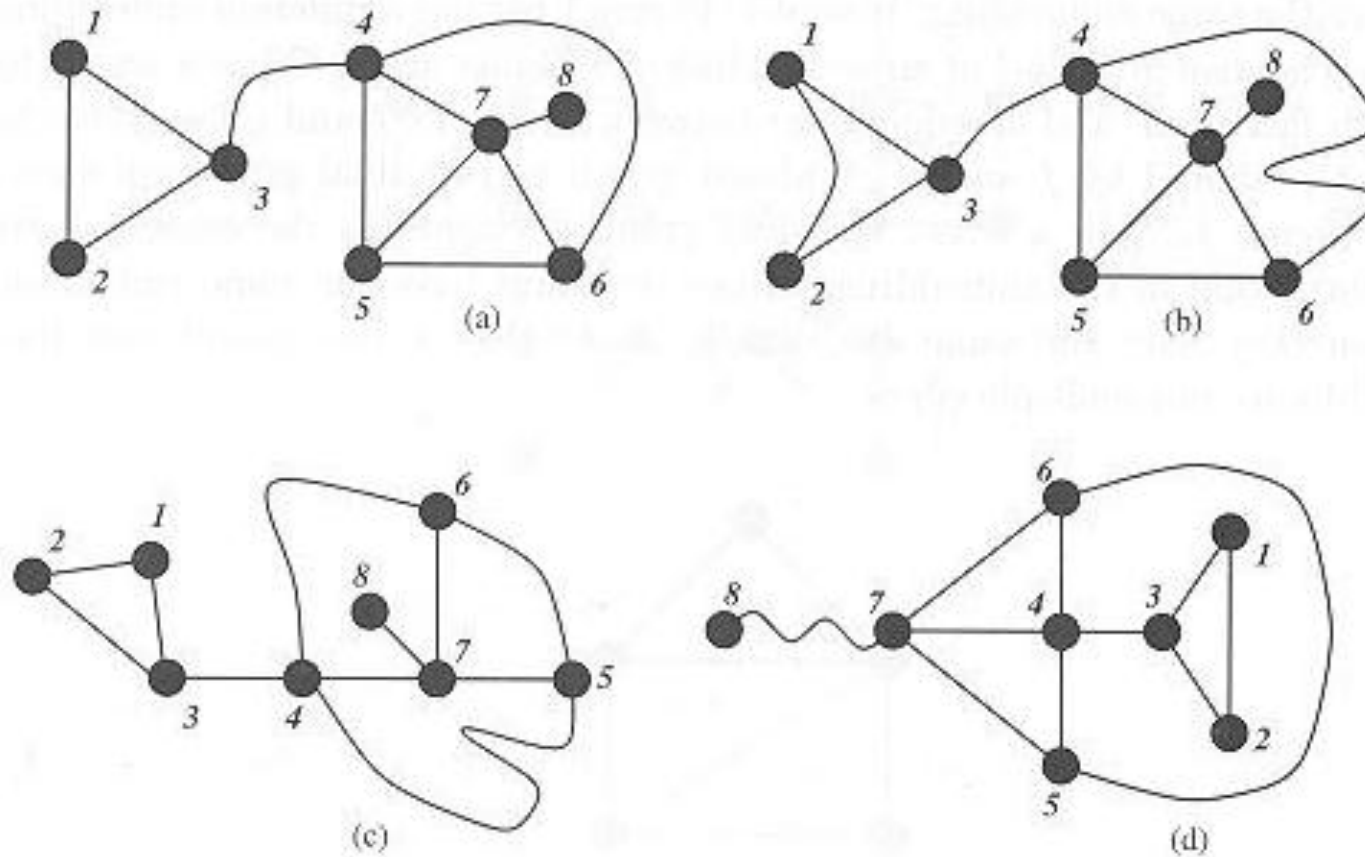
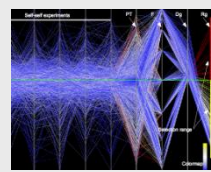


Figure 1.6: Four planar drawings of the same graph.



5.1 Definition

Eine planare Zeichnung eines Graphen oder Digraphen zerlegt die Ebene in topologisch verbundene Regionen. Diese werden **Facetten** genannt.

Die unbegrenzte Facette wird **äußere Facette** genannt.

Eine planare Zeichnung bestimmt zirkuläre Ordnung der inzidenten Kanten an jedem Knoten **durch Umlauf gegen/im Uhrzeigersinn**.

Zwei planare Zeichnungen heißen **äquivalent**, wenn sie die **gleiche zirkuläre Ordnung** an allen Knoten festlegen.

Eine **planare Einbettung** eines Graphen oder Digraphen G ist
Äquivalenzklasse von planaren Zeichnungen:

- Wird durch **Festlegen der zirkulären Ordnungen** der inzidenten Kanten an jedem Knoten festgelegt
- Auf der **vorherigen Folie** liefern a,b,c die gleiche, d dagegen eine andere Einbettung des Graphen.

Ein **eingebetteter Graph / Digraph** ist ein Graph / Digraph mit festgelegter planarer Einbettung.

5.1 Definition

Der **Dualgraph** G^* zu einer Einbettung eines planaren Graphen G besitzt

- einen Knoten für jede **Facette der Einbettung** und
- eine Kante (f,g) zwischen zwei Facetten, wenn diese **Facetten eine gemeinsame Kante** in der Einbettung haben

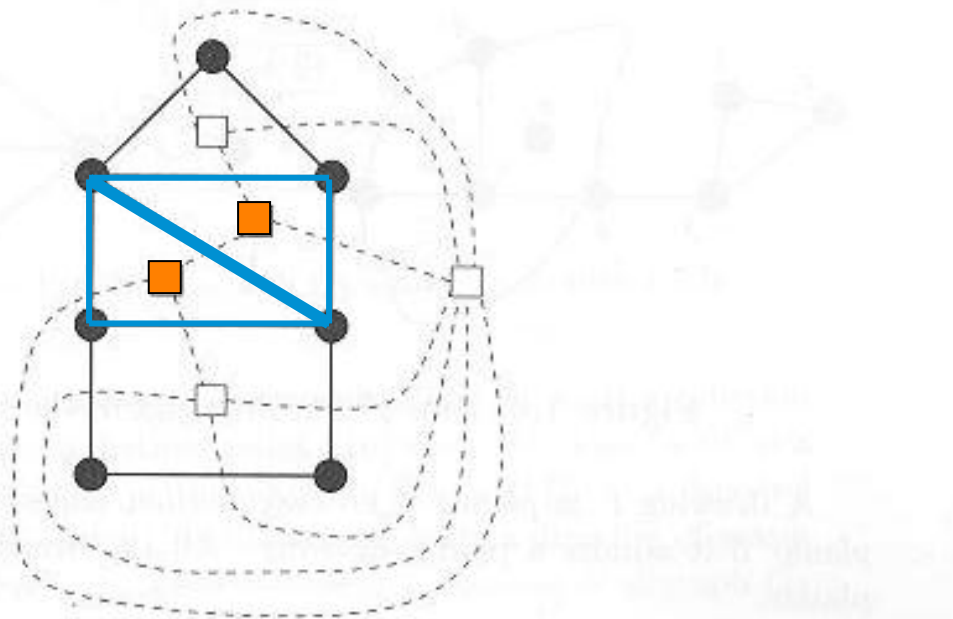


Figure 1.7: Dual graph (shown with boxes for vertices and dashed lines for edges) of an embedding of a planar graph.

5.1 Definition

Der **Dualgraph** G^* zu einer Einbettung eines planaren Graphen G besitzt

- einen Knoten für jede **Facette der Einbettung** und
- eine Kante (f,g) zwischen zwei Facetten, wenn diese **Facetten eine gemeinsame Kante** in der Einbettung haben.

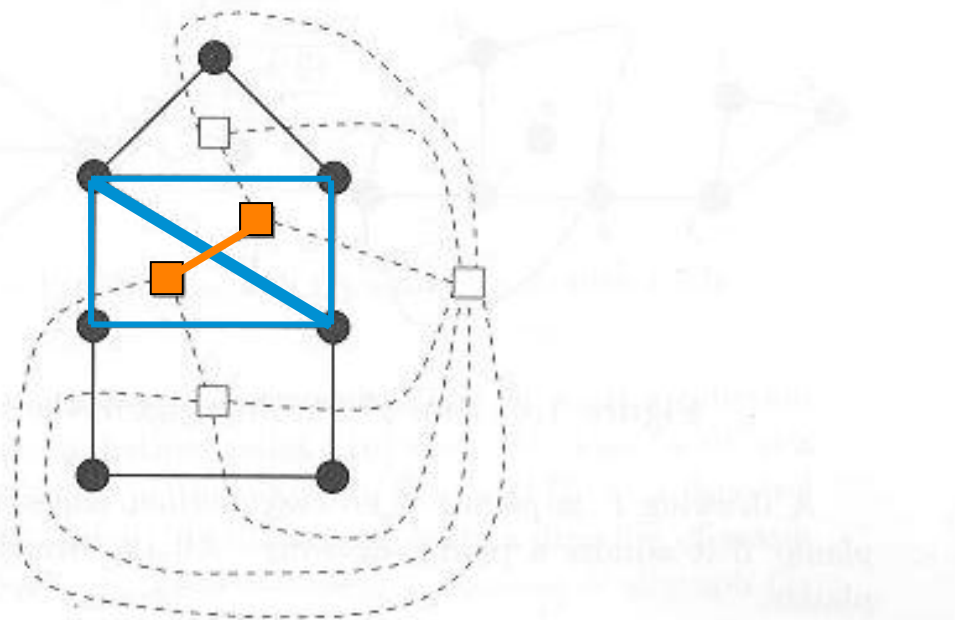
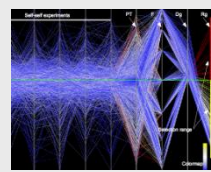


Figure 1.7: Dual graph (shown with boxes for vertices and dashed lines for edges) of an embedding of a planar graph.



5.1 Definition

Ein Graph heißt **zusammenhängend**, wenn es Weg zwischen beliebigen Knoten u und v gibt.

Ein maximaler zusammenhängender Teilgraph von G heißt **Zusammenhangskomponente**.

Ein **Schnittknoten** eines Graphen G ist ein Knoten, dessen Entfernen (einschließlich der inzidenten Kanten) den Graphen G in mehrere Zusammenhangskomponenten teilt.

Ein Graph ohne Schnittknoten heißt **doppelt zusammenhängend**.

Maximale doppelt zusammenhängende Teilgraphen heißen **Blöcke**.

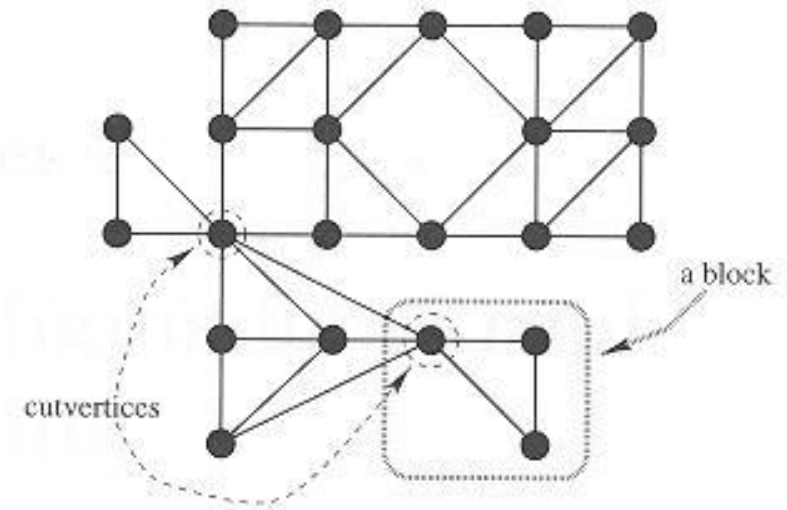
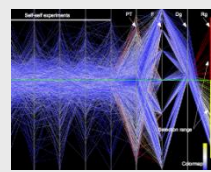


Figure 1.8: Cutvertices and blocks.



5.1 Definition

Ein Paar (u,v) von Knoten eines Graphen heißt **trennendes Paar**, falls Entfernen von u und v aus Graphen den Graphen teilt .

Ein doppelt zusammenhängender Graph ohne trennendes Paar heißt **dreifach verbunden (dreifach zusammenhängend)**.

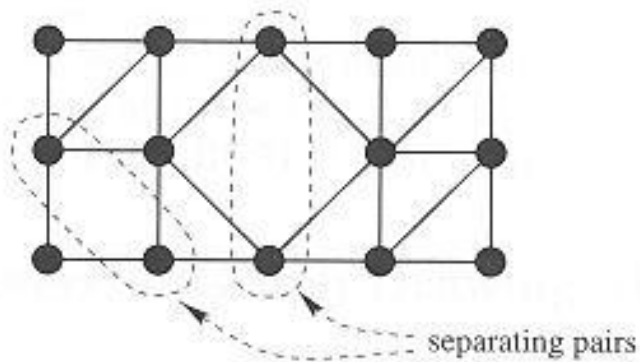
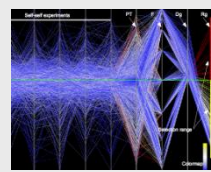


Figure 1.9: Separating pairs.

Satz: Skelett (Ecken und Kanten) eines Polyhedrons im Raum ist planarer, dreifach zusammenhängender Graph.

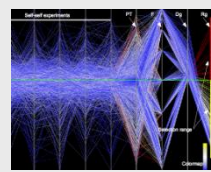
Satz: Planarer, dreifach zusammenhängender Graph hat eindeutige Einbettung (bis auf Umdrehung der zirkulären Ordnung an allen Knoten).



5.1 Definition

Weitere Graphentypen

- **Multigraphen.** Sowohl bei **gerichteten als auch ungerichteten** Graphen können mehrfache Kanten zwischen gleichen Knoten und Kanten von einem Knoten zu sich selbst auftreten
- **Ungerichtete Hypergraphen.** Wenn eine Kante mehr als zwei Knoten verbinden kann, spricht man von Hypergraphen:
Tupel (V,E) mit endlichen Menge von Knoten V und Menge $E \subseteq \text{Pot}(V)$ von Hyperkanten
- **Gerichtete Hypergraphen.** Ein Tupel (V,E) einer endlichen Menge V von Knoten und einer Menge E von Hyperkanten.
Jede Hyperkante verbindet eine Ausgangsmenge von Knoten mit einer Eingangsmenge von Knoten.

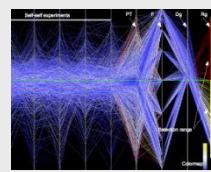


5.2 Paradigmen

Konventionen

Es gibt verschiedene **Zeichenkonventionen mit entscheidenden Einfluss** auf die Auslegealgorithmen von Graphen. Die gebräuchlichen Konventionen sind:

- **Polylinienzeichnung.** Jede Kante wird als Polygonzug gezeichnet.
- **Geradlinige Zeichnung.** Jede Kante wird als gerade Linie gezeichnet.
- **Orthogonale Zeichnung:** Jede Kante wird als Polygonzug achsenparalleler Linien gezeichnet.
- **Gitterzeichnung.** Knoten, Schnittpunkte und Kantenknicke haben ganzzahlige Koordinaten bzgl. eines festgelegten kartesischen Gitters.
- **Planare Zeichnung.** Kanten schneiden sich höchstens an Knoten.
- **Aufwärtszeichnung / Abwärtszeichnung.** Für azyklische gerichtete Graphen (DAGs) wird jede Kante als monoton ansteigende / absteigende Kurve gezeichnet.



5.2 Paradigmen

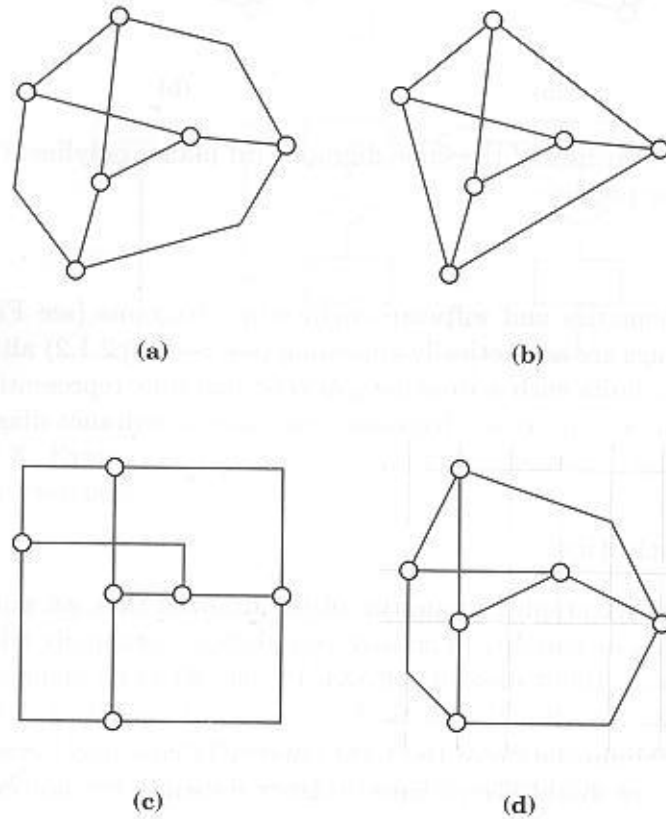


Figure 2.1: Drawings of the same graph: (a) polyline; (b) straight-line; (c) orthogonal; (d) polyline grid.

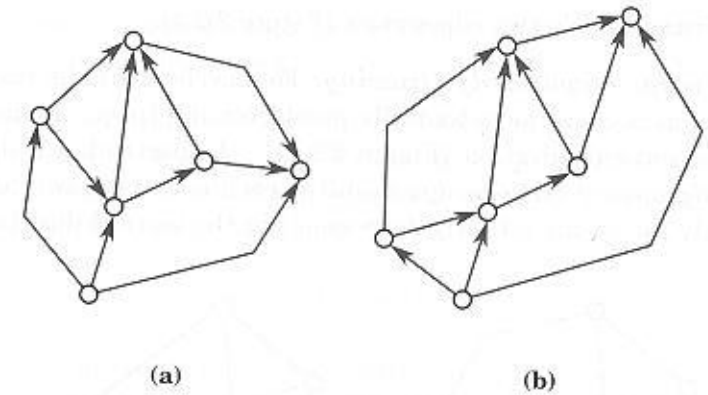
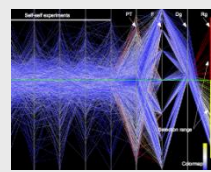


Figure 2.2: Drawings of the same digraph: (a) planar polyline; (b) strictly upward planar polyline.

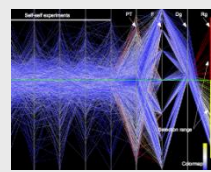


5.2 Paradigmen

Ästhetikkriterien I

Ästhetische Kriterien formulieren Wünsche an die Zeichnung eines Graphen, die die Zeichnung möglichst gut erfüllen soll;

- Oft sind nicht alle Kriterien, manchmal keines zu erreichen; es wird ein **guter Kompromiss** gesucht.
- **Kantenschnitte.** Minimierung der Anzahl der Schnittpunkte von Kanten
- **Fläche.** Graph wird auf möglichst kleiner Fläche gezeichnet. Dabei wird entweder das Gitterzeichnen oder ein Mindestabstand von Knoten vereinbart.
- **Gesamtkantenlänge.** Gesamtkantenlänge wird minimiert. Auch dies ist nur bei Gitterzeichnen oder Knotenmindestabstand sinnvoll.
- **Maximale Kantenlänge.** Länge der längsten Kante wird minimiert. Wieder muss man Gitterzeichnen oder Knotenmindestabstand vereinbaren.
- **Gleichförmige Kantenlänge.** Varianz der Kantenlängen wird minimiert.
- **Gesamtanzahl Knicke.** Zahl aller Knicke aller Kanten soll minimiert werden. Dies ist besonders bei orthogonalem Zeichnen sinnvoll.



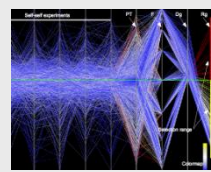
5.2 Paradigmen

Ästhetikkriterien II

- **Maximale Knickanzahl.** Maximum von Knicken einer Kante wird minimiert.
- **Gleichmäßige Knickanzahl.** Varianz der Knickanzahl wird minimiert.
- **Winkelauflösung.** Kleinster auftretender Winkel zwischen zwei Kanten wird maximiert.
- **Seitenverhältnis.** Seitenverhältnis des kleinsten umschriebenen Rechtecks soll nahe 1 sein.
- **Symmetrie.** Symmetrien des Graphen sollen möglichst gut abgebildet werden.

Aber:

- Ästhetikkriterien widersprechen sich oft.
- Einzelne Kriterien können nicht immer erfüllt werden.



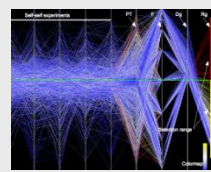
5.2 Paradigmen

Einschränkungen

Festlegen von Teilgraphen oder Teilzeichnungen, um bestimmte Konventionen einzuhalten

Häufige Beispiele in der Visualisierung

- **Zentrum.** Gegebener Knoten wird im Zentrum der Zeichnung fixiert.
- **Außen.** Bestimmter Knoten wird der äußeren Facette benachbart.
- **Cluster.** Gegebene Menge von Knoten wird nah beieinander angeordnet.
- **Links-Rechts-Folge.** Vorgegebener Weg wird von links nach rechts gezeichnet (auch vertikal möglich).
- **Form.** Zeichne gegebenen Teilgraphen mit vorgegebener Form.



5.2 Paradigmen

Topologie-Form-Metrik-Ansatz

Dieser Ansatz zielt vor allem auf orthogonale Gitterzeichnungen und basiert auf drei Verfeinerungsebenen:

Topologie. Zwei orthogonale Zeichnungen haben **gleiche Topologie**, wenn sie durch

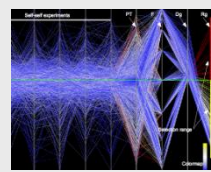
- **stetige Deformation ohne Vertauschen von Facetten** ineinander überführt werden können

Form. Zwei orthogonale Zeichnungen haben **gleiche Form**, wenn sie

- **gleiche Topologie** haben und
- eine Zeichnung aus der anderen nur durch **Längenänderungen der Liniensegmente** hervorgeht.

Metrik. Zwei orthogonale Zeichnungen haben **gleiche Metrik**, wenn sie

- **kongruent** sind, also durch
- **Verschieben und Drehen** ineinander überführt werden können.



5.2 Paradigmen

Topologie-Form-Metrik-Ansatz/2

Umsetzung erfolgt durch drei entsprechende Schritte, bei denen nacheinander **Topologie**, Form und Metrik optimiert werden:

Planarisierung legt die Einbettung des Graphen, also seine **Topologie** fest:

- **Minimierung der Anzahl der Kantenschnitte:**
 - Oft wird zunächst ein **maximaler planarer Untergraph** gesucht und eingebettet.
 - Anschließend werden **verbleibende Kanten einzeln eingefügt**, wobei jeweils möglichst wenig Überschneidungen erzeugt werden.
 - An Überschneidungen werden **Dummy-Knoten eingefügt**.

[Jeron, Jard. 3D Layout of Reachability Graphs of Communicating Processes. Graph Drawing '94 Proceedings, 1995, 25-32],
[Jünger, Leipert, Mutzel. Pitfalls of using PQ-trees in automatic graph drawing. Graph Drawing '97 Proceedings, 1997, 193-204]
[Battista, Eades, Tamassia, Tollis. Graph Drawing. Prentice-Hall, 1999]

Topologie-Form-Metrik-Ansatz/3

Orthogonalisierung legt die **Form** fest:

- **Orthogonale Repräsentation** des Graphen
 - Knoten **ohne Koordinaten**
 - Kanten lediglich **Winkellisten**, zur Festlegung ihrer Knicke
- **Minimierung der Knicke** ist in der Regel das Hauptziel

Kompaktifizierung legt endgültige **Koordinaten** der Kanten und der **Kantenknicke** fest:

- In der Regel wird die **Fläche des Graphen minimiert.**

[Jeron, Jard. 3D Layout of Reachability Graphs of Communicating Processes. Graph Drawing '94 Proceedings, 1995, 25-32],
[Jünger, Leipert, Mutzel. Pitfalls of using PQ-trees in automatic graph drawing. Graph drawing '97 Proceedings, 1997, 193-204]
[Battista, Eades, Tamassia, Tollis, Graph Drawing, Prentice-Hall, 1999]

5.2 Paradigmen

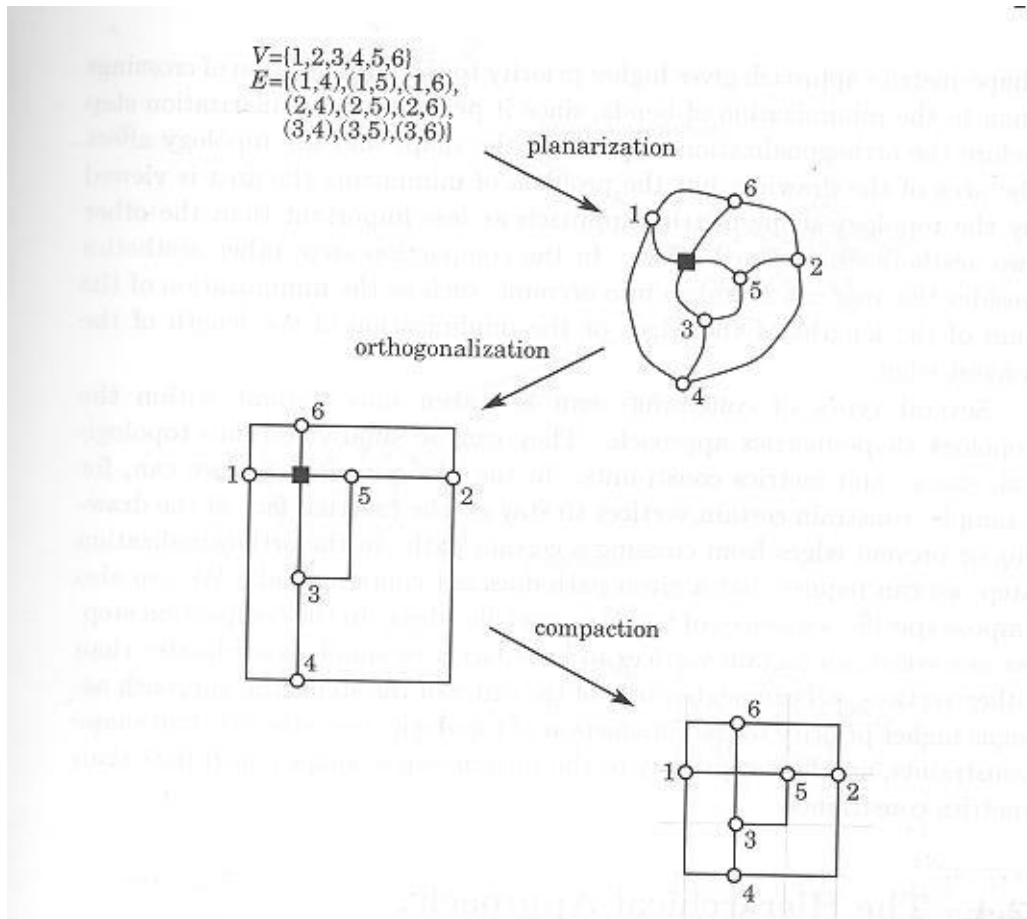
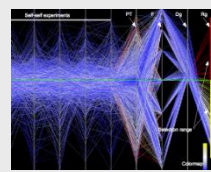


Figure 2.6: The topology-shape-metrics approach for orthogonal grid drawings. The dummy vertex introduced by the planarization step is represented by a square.

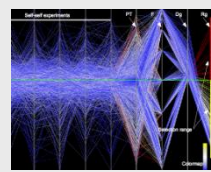


5.2 Paradigmen

Hierarchischer Ansatz

Ansatz eignet sich besonders für Layout von DAGs und verwendet ebenfalls drei Schritte

1. **Schichtungsschritt** verwandelt einen DAG in einen **geschichteten Digraphen**, bei dem jedem Knoten eine Schicht L_i zugeordnet wird, so dass für alle Kanten (u,v) gilt: $u \in L_i \wedge v \in L_j$ und $i < j$
 - Nach **Einfügen von Dummy-Knoten** auf Kanten, die über mehr als eine Ebene laufen - so dass jede Kante von einer Schicht i zur Schicht $i+1$ läuft - ist die ein **echt geschichteter Digraph**.
2. Bei **Schnittreduzierung** erhält jede Schicht eine **Reihenfolge** (Ordnung)
 - Reihenfolge bestimmt **Topologie** des Layouts.
 - Dabei wird Anzahl der **Kantenschnitte minimiert**.



5.2 Paradigmen

Hierarchischer Ansatz/2

3. **Festlegen der x-Koordinaten** legt x -Koordinaten der Knoten in den Ebenen fest
 - Für endgültige Zeichnung ersetzt man Dummy-Knoten durch Knicke
 - **Knicke können minimiert** oder **Symmetrien betont** werden

Für **Digraphen** wird minimale Anzahl von Kanten umgedreht, um einen DAG zu erzeugen

Diese werden aber in ihrer ursprünglichen Richtung gezeichnet.

5.2 Paradigmen

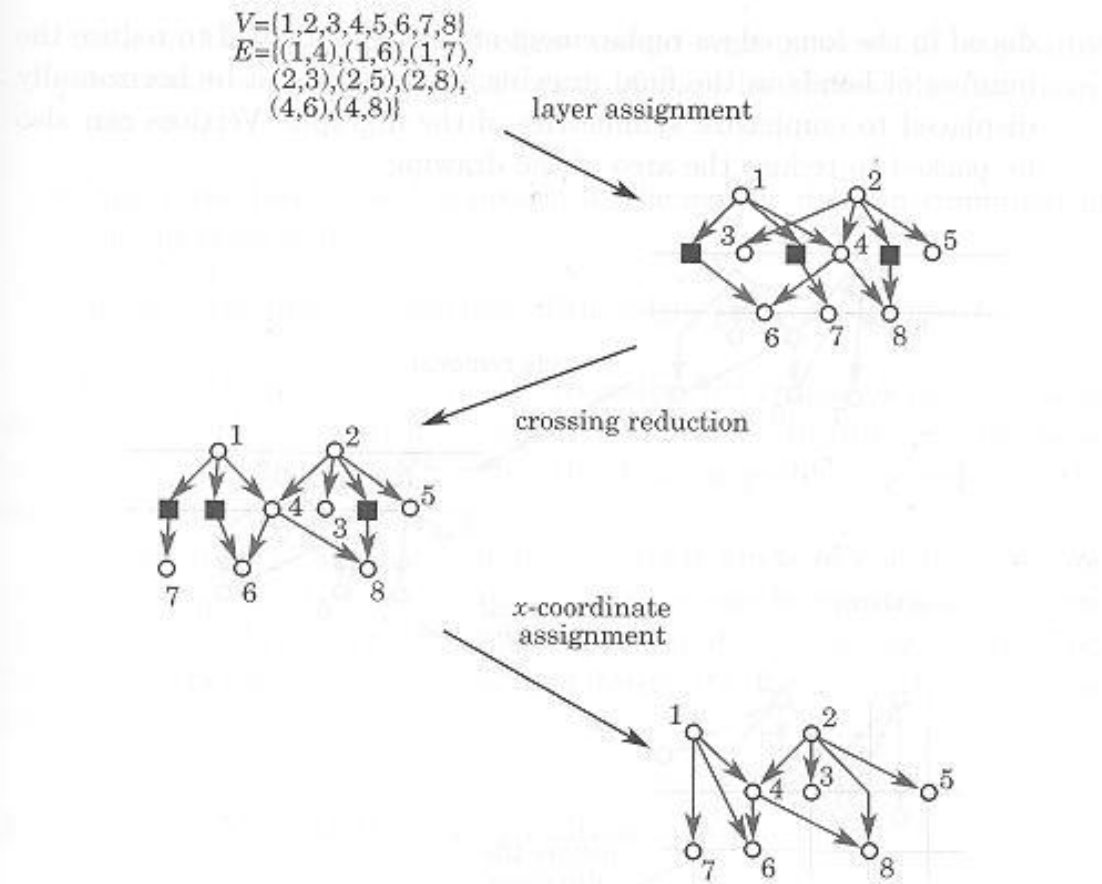
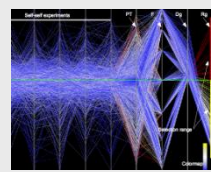
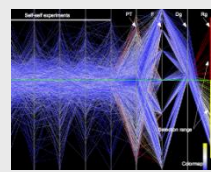


Figure 2.7: The hierarchical approach. The dummy vertices introduced in the layer assignment step are represented by squares.



5.2 Paradigmen

- Problem der **Schnittminimierung** zwischen zwei Ebenen ist bereits **NP-hart**:
Heuristiken werden gesucht
[K. Sugiyama, S. Tagawa, and M. Toda, „Methodes for Visual Understanding of Hierarchical Systems Structures“, IEEE Trans. Systems, Man, and Cybernetics, vol. 11, no. 2, pp. 109-125, 1989]
- Heuristik legt eine **Ordnung der ersten und letzten Ebene fest**: jeder Knoten soll im Schwerpunkt seiner Nachbarn (im Graphen) liegen: lineares Gleichungssystem
[W. Tutte, „How to Draw a Graph“, Proc. London Math. Soc., vol. 3, no. 13, pp. 743-768, 1963]
- Vergleich von Heuristiken:
[M. Laguna and R. Marti, „Heuristics and Meta-Heuristics for 2-Layer Straight Line Crossing Minimization“, URL: <http://www-bus.colorado.edu/Faculty/Laguna/>, 1999].

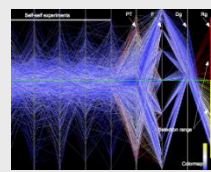


5.2 Paradigmen

Sichtbarkeitsansatz

Ansatz dient dem Auslegen beliebiger Graphen mit Polylinien

- **Planarisierung** gleicht dem Topologie-Form-Metrik-Ansatz; Ziel ist **Schnittvermeidung**
- **Sichtbarkeitsschritt** schafft eine Sichtbarkeitsrepräsentation des Graphen
 - Jedem **Knoten** wird **horizontales** und jeder **Kante** $\{u,v\}$ **vertikales** Segment zugeordnet
 - Kantensegment hat Anfang und Ende innerhalb Knotensegmente
 - Kantensegmente schneiden einander nicht
- **Ersetzungsschritt** erzeugt endgültige Zeichnung des Graphen
 - Ersetzen jedes **horizontalen** Segments durch **Punkt**
 - Ersetzen jedes **vertikalen** Segments durch **Polylinie**
 - Mögliche Strategien / Ästhetikkriterien: Knickminimierung, Symmetriebetonung, gleichmäßige Verteilung der Knoten



5.2 Paradigmen

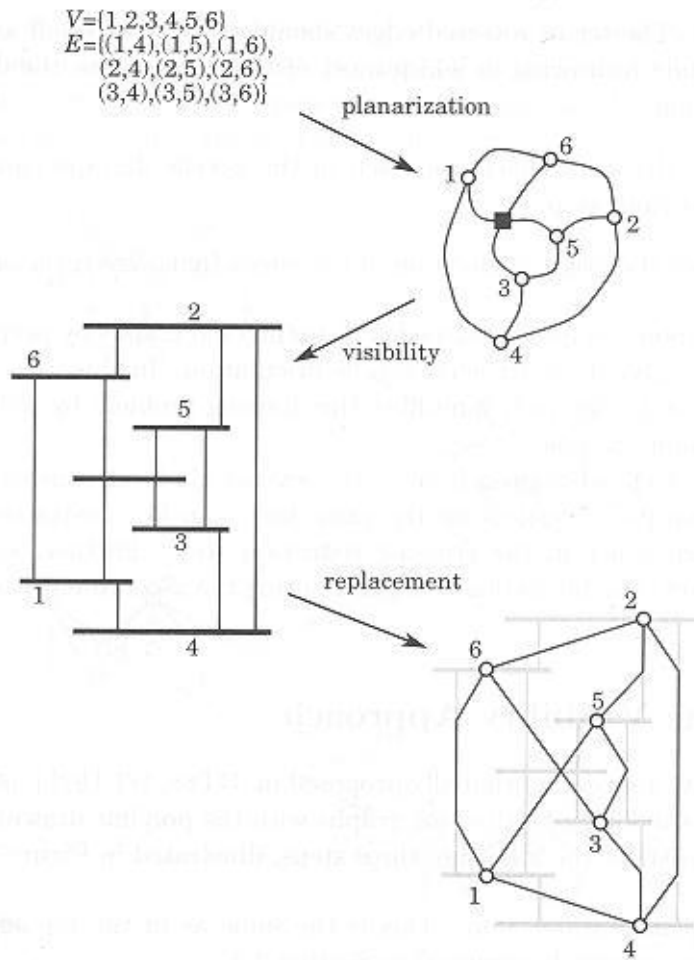
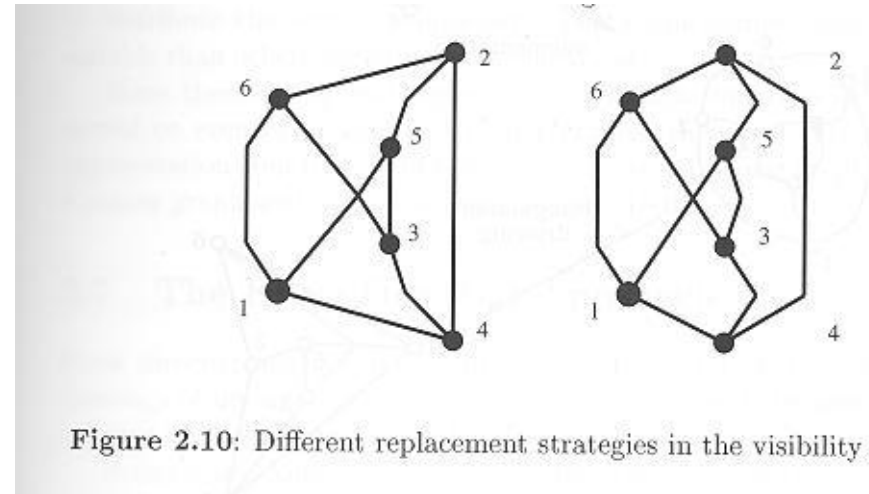
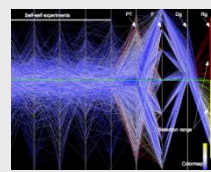


Figure 2.9: The visibility approach.



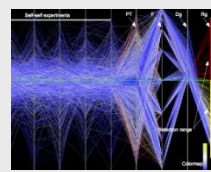


5.2 Paradigmen

Verfeinerungsansatz

Betrachtet Polylinienzeichnungen

- **Planarisierung** gleicht Topologie-Form-Metrik-Ansatz; Hier geht es erneut vor allem um Schnittvermeidung
- **Verfeinerung** fügt geeignete Anzahl von Kanten (evtl. auch Knoten) in Einbettung ein, um einen **maximalen planaren Graphen** zu erzeugen:
 - Alle Facetten haben dann drei Kanten - **Triangulierung**
 - Qualität des Zeichnens maximaler Graphen hängt in der Regel vom **Knotengrad** ab
 - Minimierung des **maximalen Knotengrad**

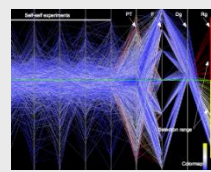


5.2 Paradigmen

Verfeinerungsansatz/2

Betrachtet Polylinienzeichnungen

- **Triangulierungszeichnung** erzeugt Zeichnung durch
 - **Auslegen aller Dreiecke** und
 - anschließendes **Entfernen der Dummy-Kanten** und ggf. Dummy-Knoten
- Alle Algorithmen nutzen spezielle **Triangulierungseigenschaften** durch
 - überschneidende aufspannende Bäume oder
 - kanonische Knotenaufzählungen
(Beim Entfernen der Dummy-Knoten können Knicke und Schnitte entstehen.)



5.2 Paradigmen

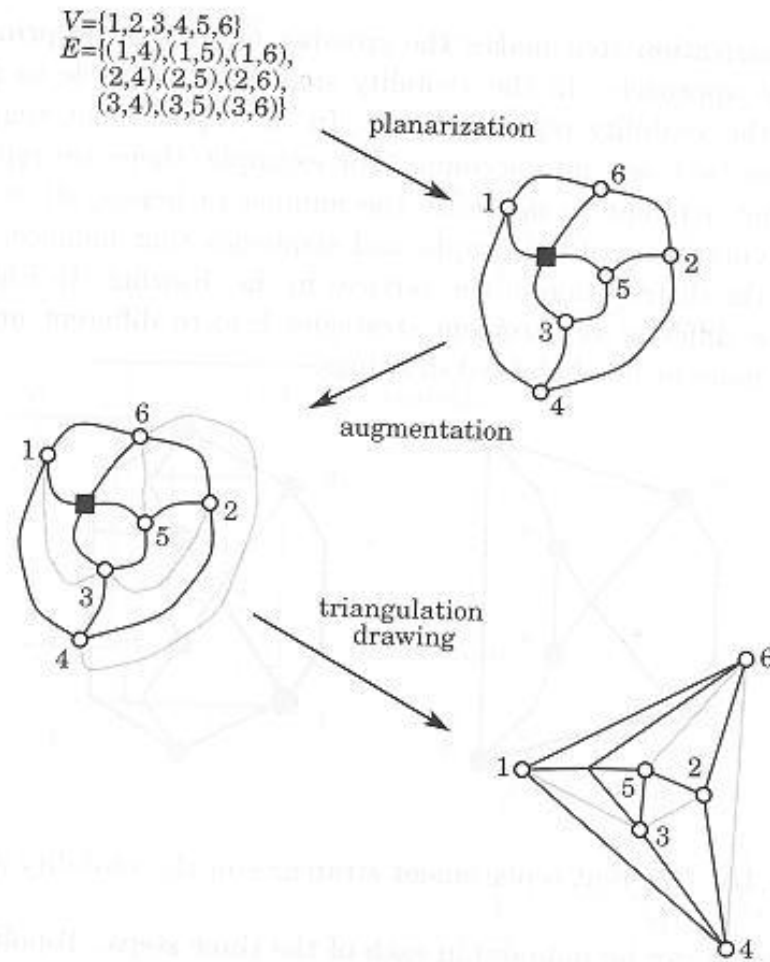
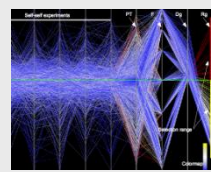


Figure 2.11: The augmentation approach.

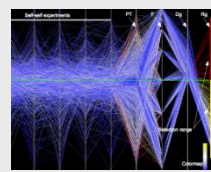


5.2 Paradigmen

Kraftbasierter Ansatz

- Kraftbasierte Ansätze sind intuitive Methoden für geradlinige Zeichnungen ungerichteter Graphen.
- Sehr populär wegen ihrer **leichten Verständlichkeit** und **einfachen Implementierung**
- Simuliert System von Kräften auf Eingabegraphen und gibt Zeichnung minimaler Energie aus. Dazu braucht man:
 - **Kräftemodell**: Oft wird jedem Paar von Knoten eine **Feder „natürlicher Länge“** zugeordnet, etwa Anzahl der Kanten des kürzesten Weges
 - Federn gehorchen **Federgesetz** und
 - Kraft proportional zur **Differenz** von natürlicher Länge und Länge in aktuellen Zeichnung
 - **Energieminimierung**: einfache **iterative Ansätze** zur Lösung gewöhnlicher Differentialgleichungen

[A. Frick, A. Ludwig, and H. Mehldau, „A Fast Adaptive Layout Algorithm for Undirected Graphs“, Proc. Symp. Graph Drawing (GD '94), pp. 389-403, 1994]

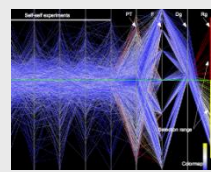


5.2 Paradigmen

Kraftbasierter Ansatz/2

- Kraftbasierte Ansätze sind intuitive Methoden für geradlinige Zeichnungen ungerichteter Graphen
- Sehr populär wegen ihrer **leichten Verständlichkeit** und **einfachen Implementierung**
- Simuliert System von Kräften auf Eingabegraphen und gibt Zeichnung minimaler Energie aus. Dazu braucht man:
 - **Kräftemodell**
 - **Energieminimierung**
 - Ergibt oft **qualitativ gute, hoch symmetrische** Zeichnungen
 - mit gleichmäßiger Knotenverteilung
 - wobei Einschränkungen können beachtet werden

[A. Frick, A. Ludwig, and H. Mehldau, „A Fast Adaptive Layout Algorithm for Undirected Graphs“, Proc. Symp. Graph Drawing (GD '94), pp. 389-403, 1994]



5.2 Paradigmen

Divide-and-Conquer Ansatz

- Beliebtes Informatikprinzip wird auch bei Zeichnungen von Graphen gerne benutzt
 - **Zerlegt** Graph in **Teilgraphen**, zeichnet diese und erhält letztlich eine Zeichnung des gesamten Graphen
 - Besonders eignen sich hier Bäume

5.2 Paradigmen

Übersicht

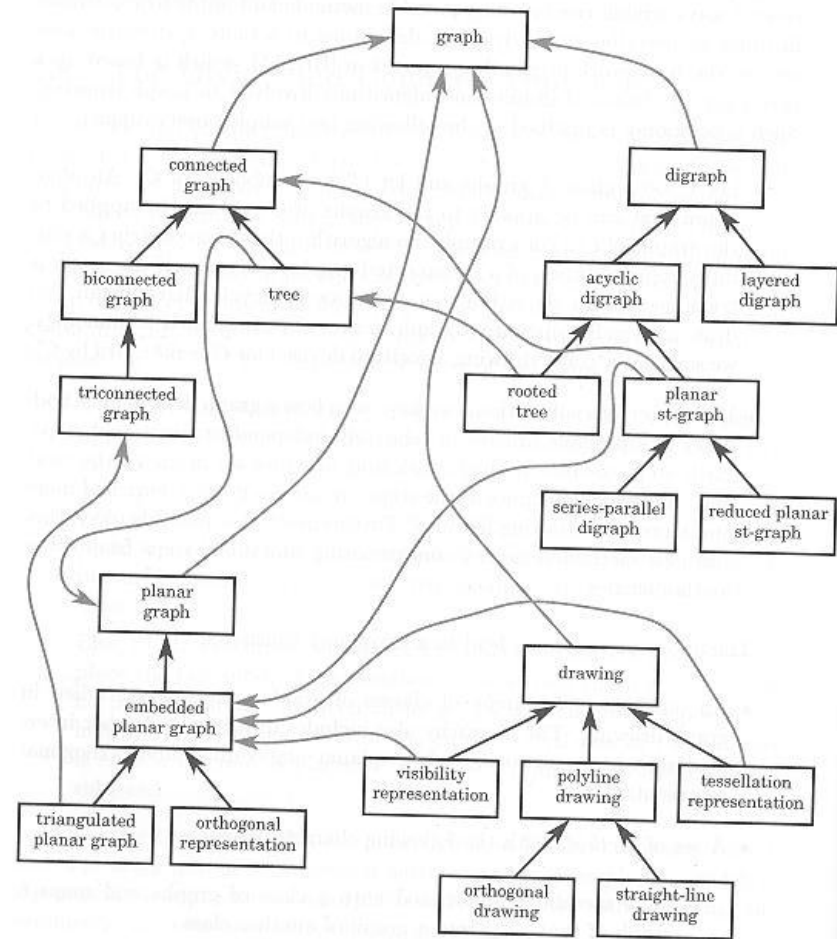


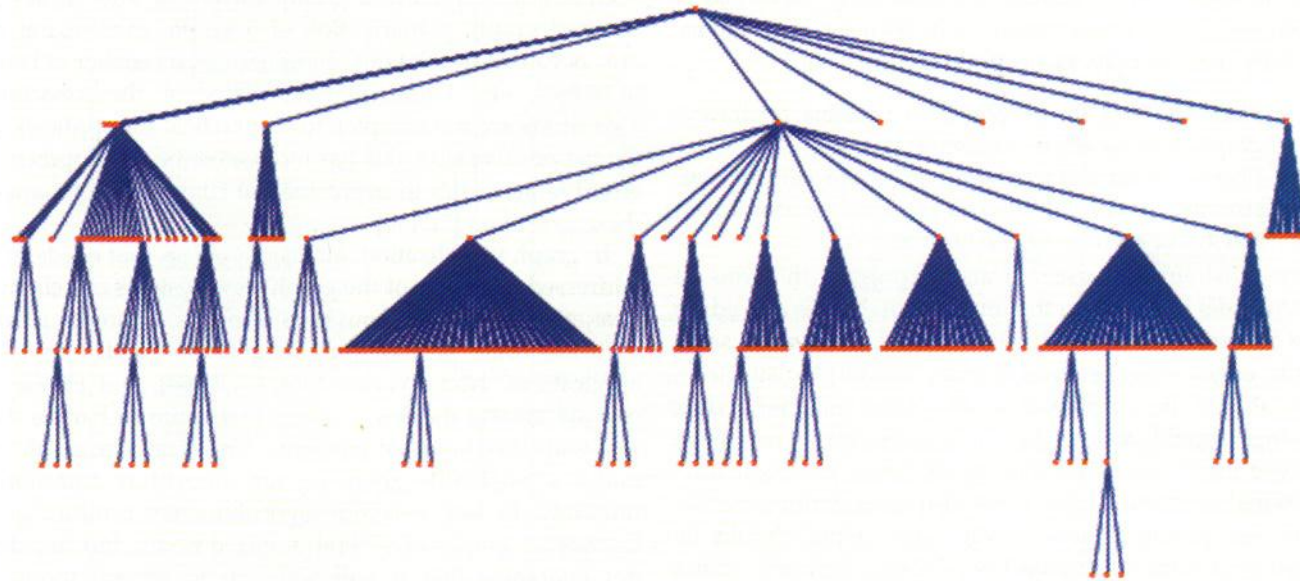
Figure 2.12: Inheritance hierarchy of classes of graphs, drawings, and related representations.

5.3 Divide and Conquer Methoden

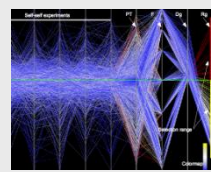
Reingold / Tilford Algorithmus

- Erzeugt **klassische Baumstruktur** für Bäume mit ausgezeichneter Wurzel mit einem typischen Divide-and-Conquer Ansatz
- Alle Knoten einer Ebene werden auf **gleiche Höhe** gelegt
- Horizontale Raum wird zwischen Teilbäumen entsprechend der **Anzahl ihrer Blätter** aufgeteilt

[E. M. Reingold and J. S. Tilford, „Tidier Drawing of Trees“, IEEE Trans. Software Eng., 7(2), pp. 223-228, 1981]



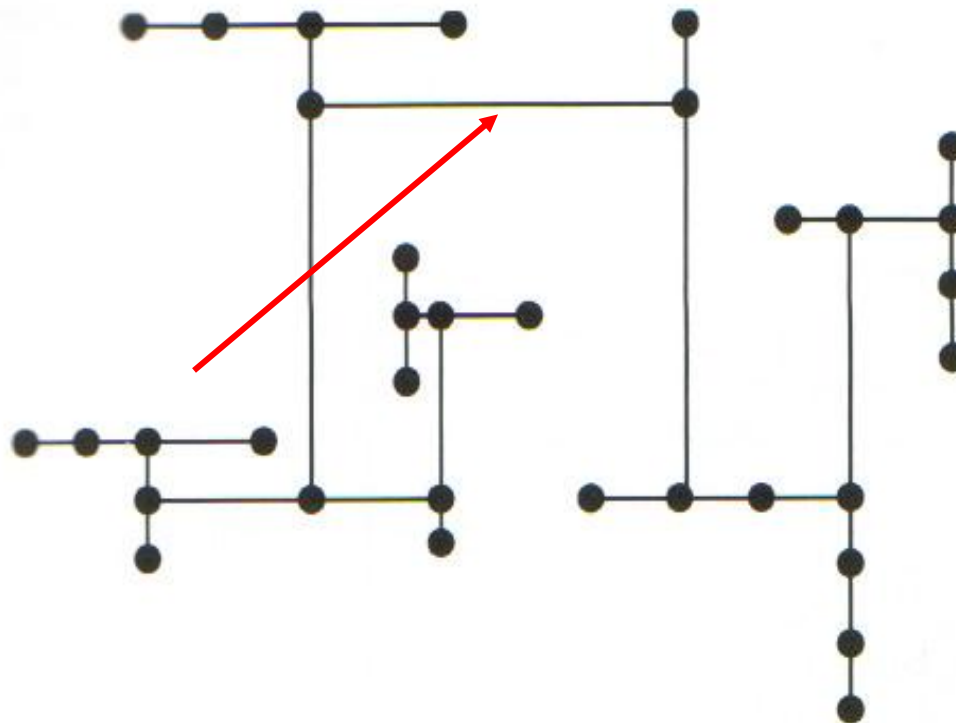
A tree layout for a moderately large graph.



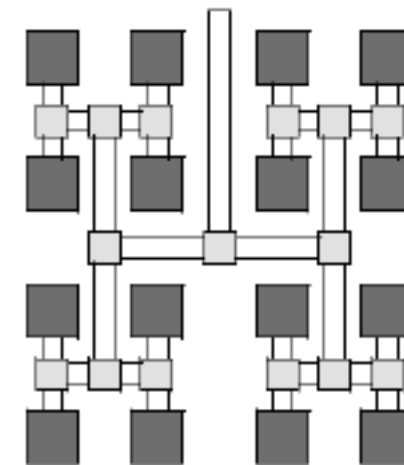
5.3 Divide and Conquer Methoden

- Bäume können auch **H-förmig ausgelegt** werden
- Wird für Chip-Layout verwendet

[P. Eades, „Drawing Free Trees“, Bulletin of the Inst. For the Combinatorics and Its Applications, pp. 10-36, 1992].



H-tree layout.

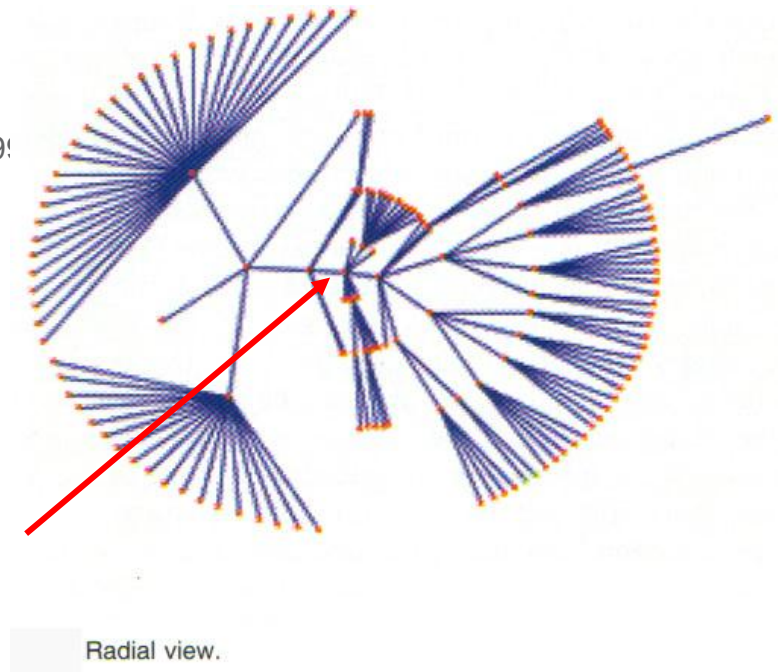


5.3 Divide and Conquer Methoden

Weitere Divide-and-Conquer Variante:

- Radiales Auslegen des Baums mit **Wurzel im Zentrum**
- Alle Knoten einer Ebene liegen auf **konzentrischen Kreisen**
- **Algorithmus vermeidet Überschneidungen** durch Festlegen der Sektoren für die Teilbäume
 - Man kann letzte Bedingung abschwächen, um im Mittel gute Ergebnisse zu erhalten

[I.Herman, G. Melancon, M. M. De Ruiter, and M. Delest, „Latour-A Tree Visualization System“, Proc. Symp. Graph Drawing GD'99, pp. 392-399, 1999. A more detailed version in: Reports of the Centre for Math. And Computer Science, Report number INS-R9904, available at: <http://www.cwi.nl/InfoVisu/papers/LatourOverview.pdf>, 1999]

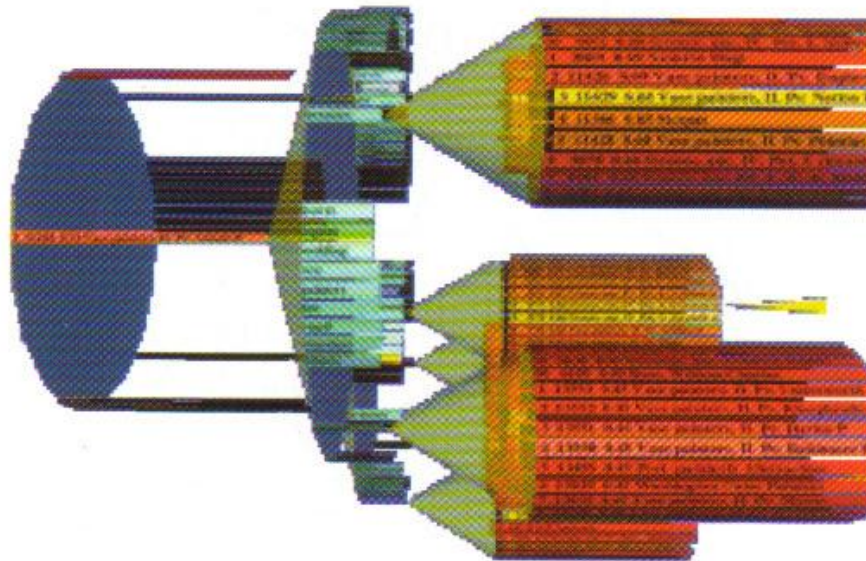


5.3 Divide and Conquer Methoden

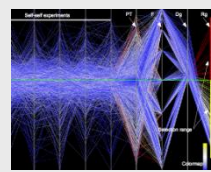
Kegelbaum (cone tree):

- Geschwister werden in Kreis ausgelegt
- Ergibt mit Elterknoten einen Kegel
- Divide-and-Conquer Ansatz für Bäume mit Wurzel
 - Allerdings keine Zeichnung wegen 3D-Layouts

[J. Carriere and R. Kazman, „Research Report: Interacting with Huge Hierarchies: Beyond Cone Trees“, Proc. IEEE Information Visualization '95, pp. 74-81, 1995]



A cone tree. (Courtesy of M. Hemmje, GMD, Germany [59].)

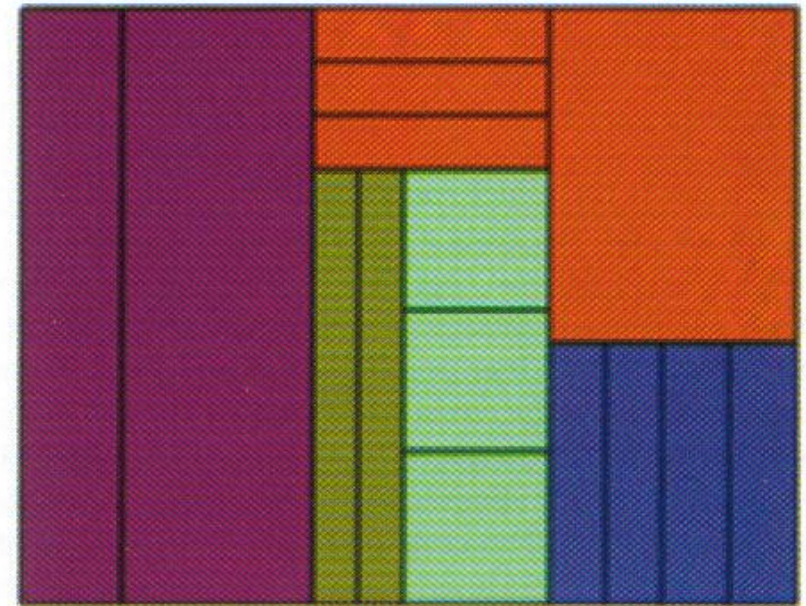


5.3 Divide and Conquer Methoden

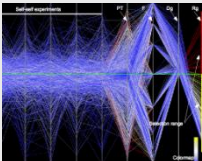
Baumkarte (tree map):

- Jedem **Teilbaum wird ein Rechteck** zugewiesen
- Rechteck wird weiter unterteilt
- Gestattet Visualisierung weiterer **Information durch die Größe der Rechtecke** (und Farbe, was aber bei praktisch allen Zeichnungen möglich ist)

[B. Johnson and B. Schneiderman, „Tree-Maps: A Space-Filling Approach to the Visualization of Hierarchical Information Structures“, Proc. IEEE Visualization '91, pp. 275-282, 1991]

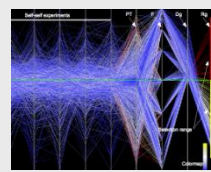


Tree-map: rectangles with color belong to the same level of the (tree) hierarchy. (Adapted from Johnson and Schneiderman [72]).



5.3 Divide and Conquer Methoden

- Alle besprochenen Baumauslegealgorithmen sind **vorhersagbar**
 - Bei **gleichem Input** liefern sie gleichen Output
 - **Isomorphe Teilbäume** werden **gleich behandelt**
 - **sehr sinnvolle Eigenschaft für** Visualisierung
- **kraftbasierte Ansätze** weisen Eigenschaft **nicht** mehr auf
 - Meistens gibt es **mehrere lokale Minima**



5.4 Kraftbasierte Methoden

- **Kraftbasierte Methoden** orientieren sich an einem physikalischen Modell mit Kräften bzw. potentieller Energie
- Energie wird minimiert
- Relativ einfach zu implementieren
- Sehr beliebt, da intuitiv zu verstehen und zugleich oft gute Ergebnisse liefernd

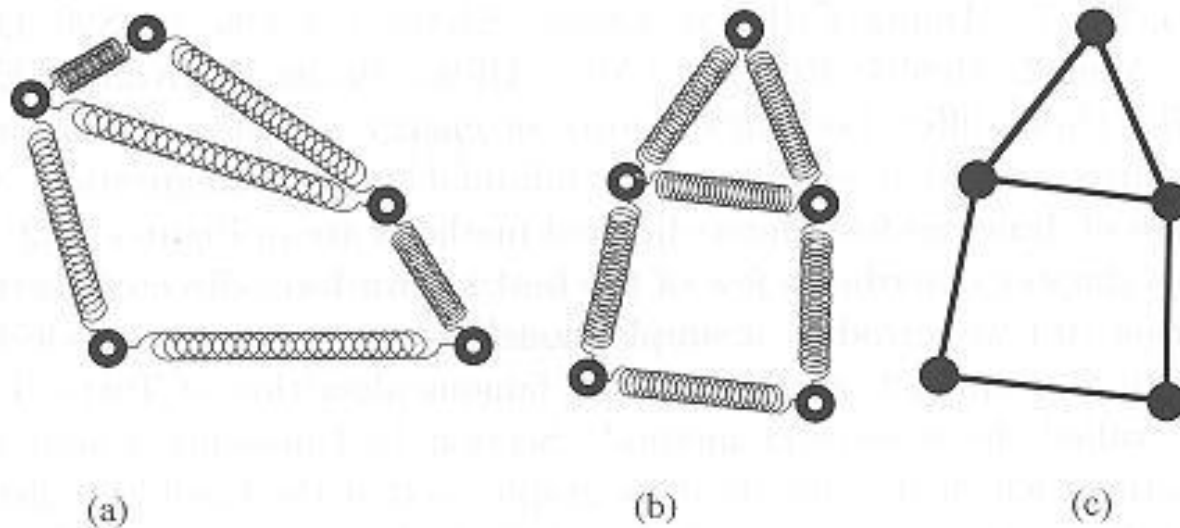


Figure 10.1: A spring algorithm.

5.4 Kraftbasierte Methoden

Federn und elektrische Kräfte

Einfachster Ansatz nutzt **elektrische Kräfte und Federn**

- Jeder **Knoten v als positiv geladenes Teilchen** und jede **Kante $e=\{u,v\}$ als Feder** mit vorgegebener Ruhelänge l_{uv}

- Kraft auf einen Knoten v ist

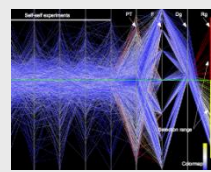
$$F(v) = \sum_{\{u,v\}} f_{uv} + \sum_{(u,v) \in V \times V} g_{uv}$$

wobei f_{uv} die Kraft auf v durch **die Feder zwischen u und v ist** und g_{uv} **elektrische Abstoßung von v durch u** modelliert

Genauer gilt

$$F(v) = \sum_{\{u,v\}} k_{uv}^{(1)} (d(p_u, p_v) - l_{uv}) \frac{p_u - p_v}{d(p_u, p_v)} + \sum_{(u,v) \in V \times V} \frac{k_{uv}^{(2)}}{(d(p_u, p_v))^2} \frac{p_u - p_v}{d(p_u, p_v)}$$

mit Zeichnungspositionen p_u, p_v , euklidischen Abstand $d(p_u, p_v)$, den Federkonstanten $k_{uv}^{(1)}$, ladungsbasierten Abstoßungsstärke $k_{uv}^{(2)}$



5.4 Kraftbasierte Methoden

- Lösung mit **numerischen Verfahren** mit häufig genutztem intuitiven Ansatz
 - Platziere Knoten **zufällig in Ebene**
 - **Berechne Kraft** $F(v)$ für alle Knoten v
 - **Bewege jeden Knoten** v ein kleines Stück in Richtung $F(v)$
 - Wenn **Kräfte nicht annähernd Null** sind und das Maximum an **Iterationen nicht erreicht** ist, gehe zu (2)
- Alternative, schnellere Ansätze liefert beispielsweise **Numerik gewöhnlicher Differentialgleichungen**

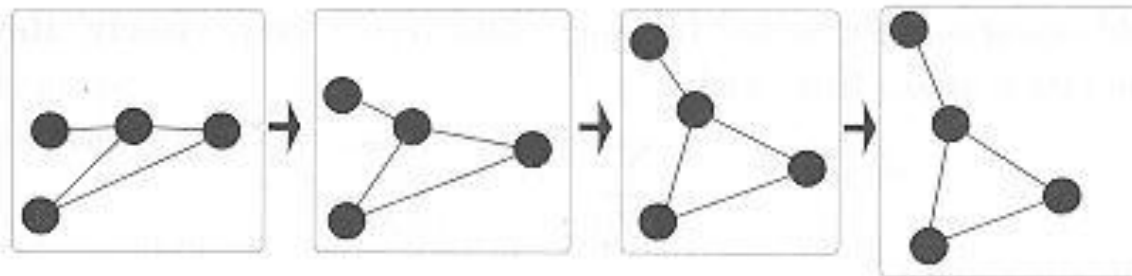
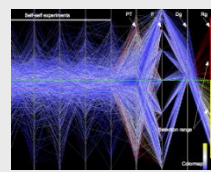


Figure 10.8: Frames in an animation of a spring algorithm.



5.4 Kraftbasierte Methoden

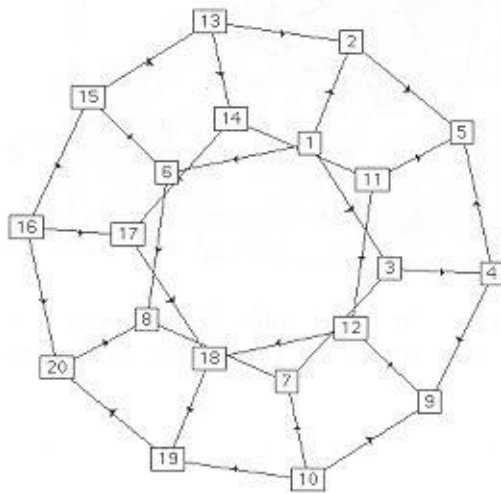


Figure 10.3: Dodecahedron drawn using a force-directed algorithm of U. Erlingsson and M. Krishnamoorthy.)

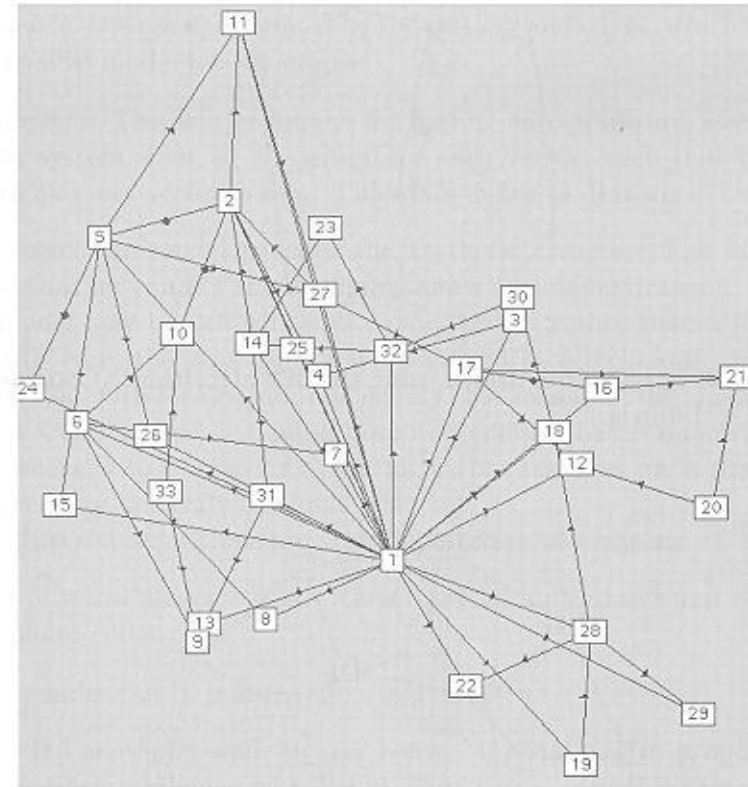
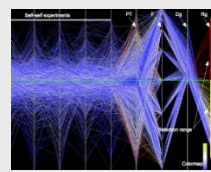


Figure 10.4: Graph of internet traffic drawn using a simple spring algorithm. (Courtesy of J. Fenwick, D. Thompson and R. Stacey.)



5.4 Kraftbasierte Methoden

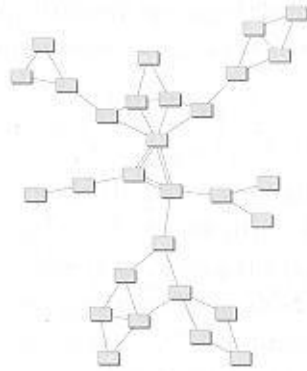


Figure 10.5: Graph drawn using a simple spring algorithm. (Courtesy of Tom Sawyer Software.)

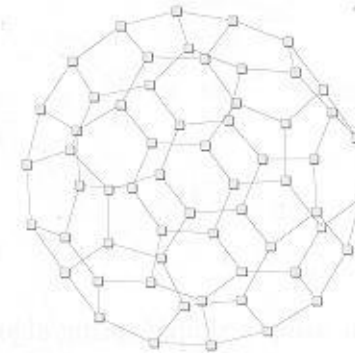


Figure 10.7: Graph drawn with an experimental force-directed algorithm from Tom Sawyer Software. (Courtesy of A. Frick.)

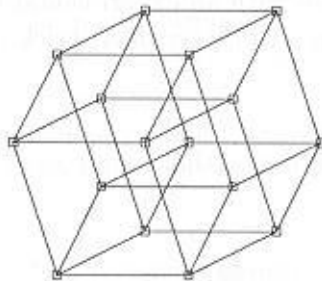


Figure 10.6: A hypercube drawn with the method of Tunkelang. (Courtesy of D. Tunkelang.)

5.4 Kraftbasierte Methoden

Baryzentrische Methode

Nutzt Federn der Länge 0, verzichtet auf elektrische Kräfte, **fixiert aber eine ausgewählte Menge von Knoten** als konvexen Rand der Zeichnung.

Es ergibt sich

$$F(v) = \sum_{\{u,v\} \in E} (p_u - p_v)$$

Mit $N_0(v)$ als **fixierte Nachbarn von v** und mit $N_1(v)$ als **freie Nachbarn** ergeben sich linearen Gleichungen

$$\deg(v)p_v - \sum_{u \in N_1(v)} p_u = \sum_{w \in N_0(v)} p_w \quad \text{für nicht fixierte } v \in V$$

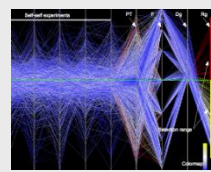
die nichts anderes sagen, als dass jeder Knoten als **Schwerpunkt** (Barycenter) seiner Nachbarn gezeichnet wird

$$p_v = \frac{\sum_{u \in N_1(v)} p_u + \sum_{w \in N_0(v)} p_w}{\deg(v)}$$

für nicht fixierte $v \in V$

[Tutte. Convex Representation of Graphs. Proc. of London Mathematical Society 10(3):304-320,1960],

[Tutte. How to Draw a Graph, Proc. of London Mathematical Society 13(3):743-768, 1963]



5.4 Kraftbasierte Methoden

Algorithm 10.1 *Barycenter-Draw*

Input: graph $G = (V, E)$; a partition $V = V_0 \cup V_1$ of V into a set V_0 of at least three *fixed* vertices and a set V_1 of *free* vertices; a strictly convex polygon P with $|V_0|$ vertices

Output: a position p_v for each vertex of V , such that the fixed vertices form a convex polygon P

1. Place each fixed vertex $u \in V_0$ at a vertex of P , and each free vertex at the origin.

2. repeat

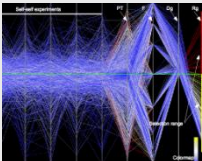
foreach free vertex v **do**

$$x_v = \frac{1}{deg(v)} \sum_{(u,v) \in E} x_u$$

$$y_v = \frac{1}{deg(v)} \sum_{(u,v) \in E} y_u$$

until x_v and y_v converge for all free vertices v .

□



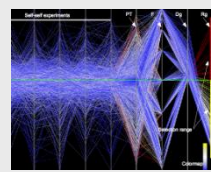
5.4 Kraftbasierte Methoden

Theorem

Sei

- G ein **dreifach zusammenhängender Graph**,
- sei f eine **Facette einer planaren Einbettung** von G und
- sei P eine **streng konvexe Zeichnung** von f ,

dann liefert vorhergehende Algorithmus eine **konvexe, planare Zeichnung von G mit fixierten Ecken von f**



5.4 Kraftbasierte Methoden

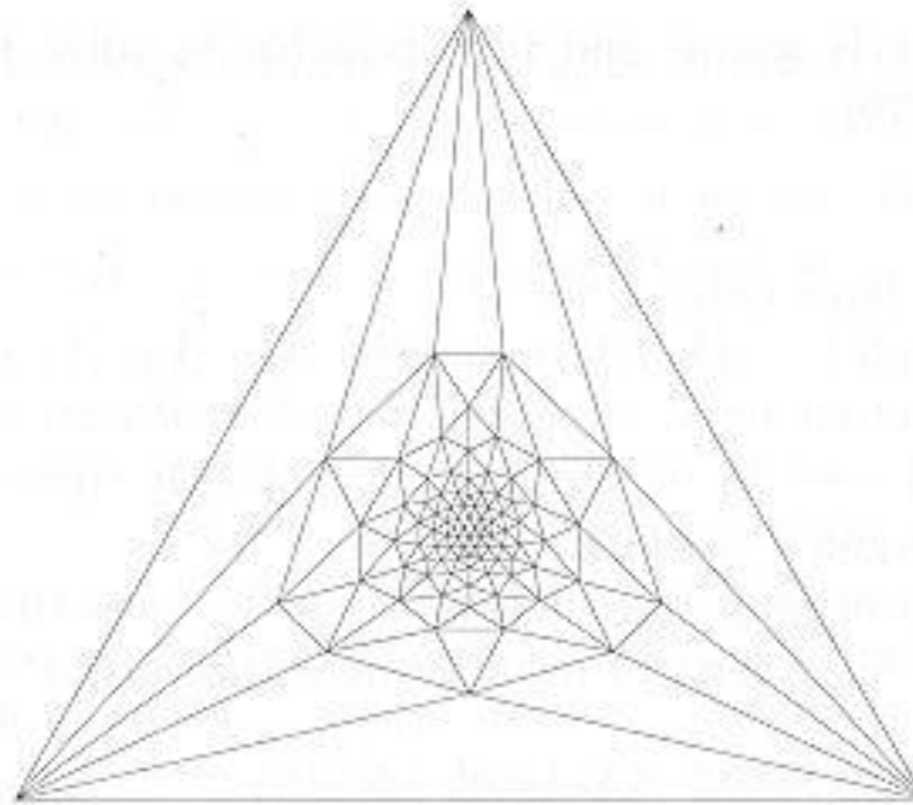
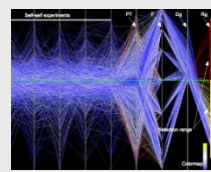


Figure 10.9: A large planar graph drawn with the barycenter method.
(Courtesy of P. Garvan.)



5.4 Kraftbasierte Methoden

Auf graphentheoretischen Distanzen beruhende Kräfte

- Sei $G=(V,E)$ ein zusammenhängender Graph. Für zwei Knoten u,v heißt die Länge $\delta(u,v)$ des kürzesten Weges **graphentheoretische Distanz**
- Ziel dieser Ansätze ist Übereinstimmen von **euklidischer Distanz** in der Zeichnung und **graphentheoretischer Distanz** im Graphen
- Kamada und Kawai wählen daher $k_{uv} := k/\delta(u,v)^2$ mit Konstante k

und setzen die **potentielle Energie** der Feder zur Kante $\{u,v\}$ auf

$$\eta_{\{u,v\}} = \frac{k}{2} \left\{ \frac{d(p_u, p_v)}{\delta(u,v)} - 1 \right\}^2.$$

sowie der gesamten Zeichnung auf

$$\eta = \frac{k}{2} \sum_{u \neq v \in V} \left\{ \frac{d(p_u, p_v)}{\delta(u,v)} - 1 \right\}^2$$

- Dieser Wert wird dann **iterativ minimiert**
 - Nach allen Knotenpositionen ableiten
 - Knoten in Richtung mit größter Ableitung bewegen

[Kamada, Kawai. An Algorithm for Drawing Undirected Graphs. Information Processing Letters 31(1):7-15, 1989]

5.4 Kraftbasierte Methoden

Magnetische Felder

- Man kann Federn auch **magnetischen Kräften** aussetzen, um sie möglichst gleich auszurichten.
- Dabei werden einige oder alle **Federn im Modell magnetisiert**.
- Es wirkt ein **globales magnetisches Feld** in senkrechter, waagrechter oder radialer Richtung (mit Zentrum).

[Sugiyama, Misue. Graph Drawing by Magnetic Spring Mode
Journal of Visual Language Computation 6(3), 1995].

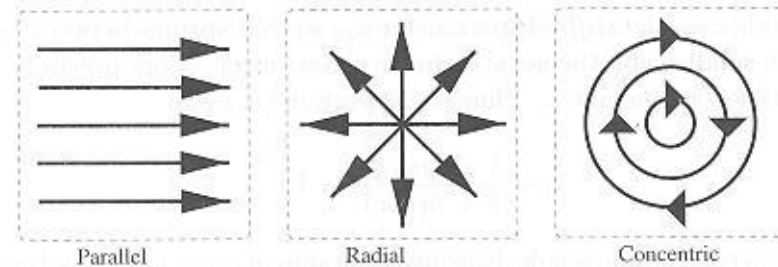


Figure 10.10: Types of magnetic field.

- Federn sind, wie folgt, modelliert:
 - **Unidirektional** mit Tendenz zur Ausrichtung in Feldrichtung, oder
 - **bidirektional** mit Ausrichtung nur parallel zum Feld

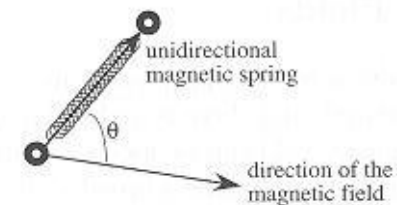


Figure 10.11: Magnetic spring.

5.4 Kraftbasierte Methoden

- **Unidirektionale Federn** und **magnetische Kräfte** erlauben Auslegen von Digraphen.

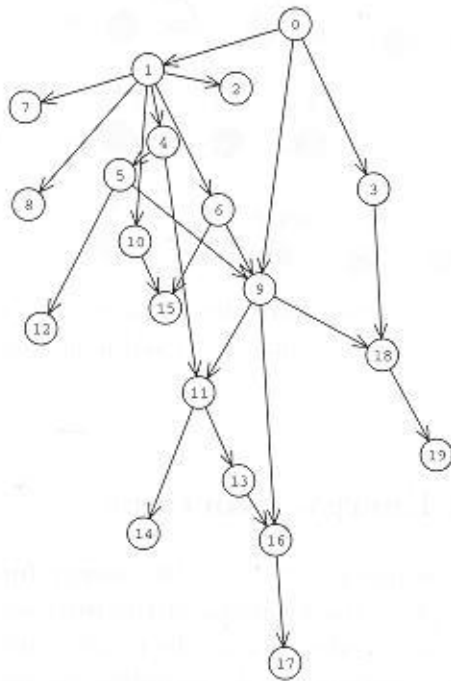


Figure 10.12: Magnetic spring drawing using a vertical magnetic field and unidirectional magnetic springs.

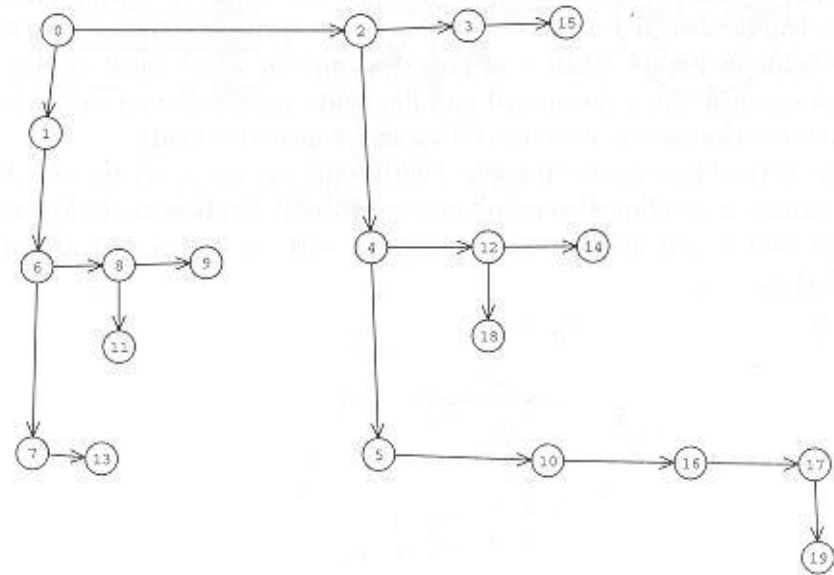
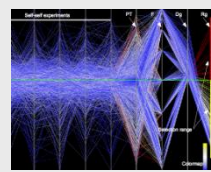


Figure 10.13: Magnetic spring drawing using a combination of horizontal and vertical magnetic fields and unidirectional magnetic springs.



5.4 Kraftbasierte Methoden

Allgemeine Energiefunktionen

- Neben kontinuierlichen Energieansätzen können auch **diskrete Ästhetikmaße** als Energien genutzt werden
 - Anzahl der Kantenschnitte
 - Anzahl der vertikalen und horizontalen Kanten
 - Anzahl der Knicke

Dabei verwendet man als Energie der Zeichnung

$$\eta = \lambda_1 \eta_1 + \dots + \lambda_k \eta_k$$

wobei η_i , $i=1, \dots, k$ einzelnen Kriterien messen

- Können auch folgende Energien enthalten:
potentiellen Federenergien, potentiellen elektrischen und magnetischen Energien
- λ_i sind **Gewichtungen** der Einzelenergien

5.4 Kraftbasierte Methoden

Beispiel allgemeiner Energien

Davidson / Harel verwenden vier Teile

$$\eta = \lambda_1 \eta_1 + \lambda_2 \eta_2 + \lambda_3 \eta_3 + \lambda_4 \eta_4$$

Wobei $\eta_1 = \sum_{u,v \in V} d(p_u, p_v)^{-2}$ eine Art **elektrischer Abstoßung** simuliert,

- mit Randabständen r_u, l_u, t_u, b_u das **Annähern an den Rand** bestraft,

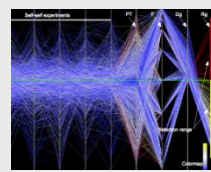
$$\eta_2 = \sum_{u \in V} (r_u^{-2} + l_u^{-2} + t_u^{-2} + b_u^{-2})$$

- **zu lange Kanten** bestraft

$$\eta_3 = \sum_{\{u,v\} \in E} d(p_u, p_v)^2$$

- und η_4 **die Anzahl der Kantenschnitte** gering hält

[Davidson, Harel. Drawing Graphics Nicely Using Simulated Annealing. ACM Transactions on Graphics 15(4):301-331, 1996]



5.4 Kraftbasierte Methoden

Nachteile dieser Ansätze

- Finden **nicht immer** die beste Lösung
- Sind **stark parameterabhängig**

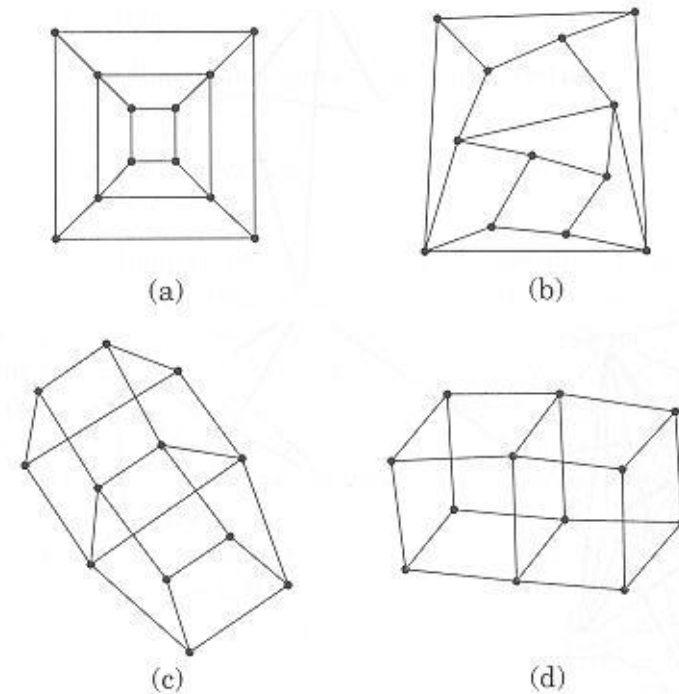
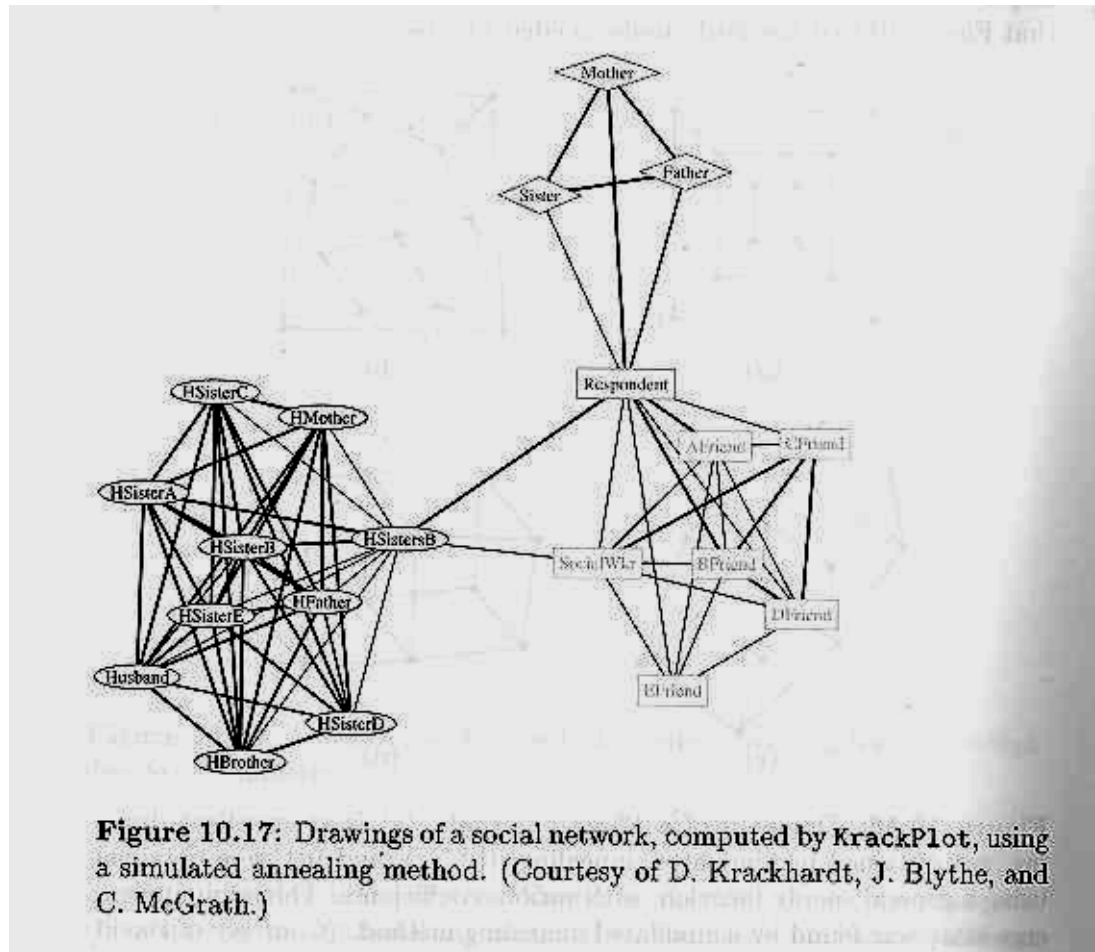
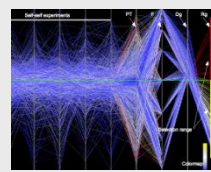


Figure 10.16: Drawings of a 12-vertex graph: (a) is an excellent drawing, not obtained by simulated annealing; (b), (c), and (d) were obtained using a general energy function, with various coefficients. The minimum energy state was found by a simulated annealing method. (Courtesy of David Harel.)

5.4 Kraftbasierte Methoden

- Aber viele gelungene Visualisierungsanwendungen

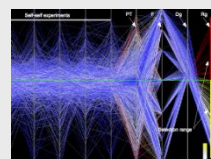




5.4 Kraftbasierte Methoden

Einschränkungen / Constraints

- Kraftbasierte Methoden lassen sich gut mit Einschränkungen wie
 - **festgelegte Positionen** einiger Knoten,
 - **fixierte** Teilgraphen
 - als Energie beschreibbare Beschränkungen
- verbinden



5.4 Kraftbasierte Methoden

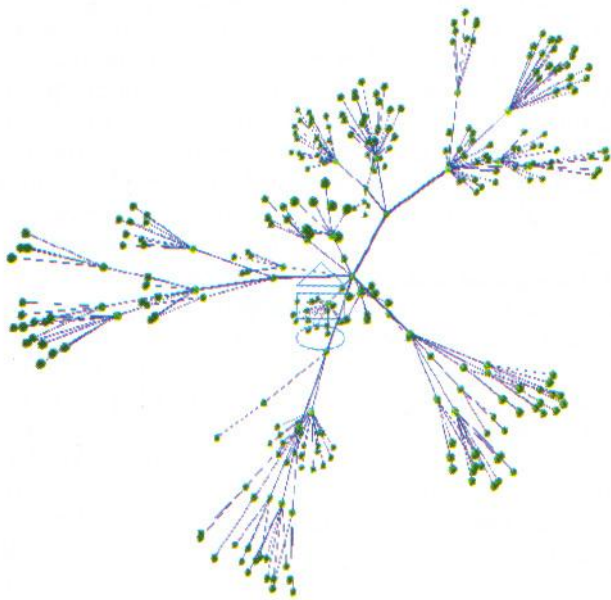
Bemerkungen

- Kraftbasierte Methoden benötigen oft **viel Rechenaufwand**
- Daher **effiziente Minimierungsmethoden** nötig
 - Auf Zufallsbasis (Simulated Annealing, Behandlung steifer Differentialgleichungen, Kombinatorische Vorbehandlung)
 - Geeignete **Heuristiken**
- Weitere Details
 - Buch von Battista et al., der dort zitierten Literatur
[Battista, Eades, Tamassia, Tollis. Graph Drawing. Prentice Hall, Upper Saddle River, NJ, USA, 1999]
 - Proceedings der „Graph Drawing Conference Series“

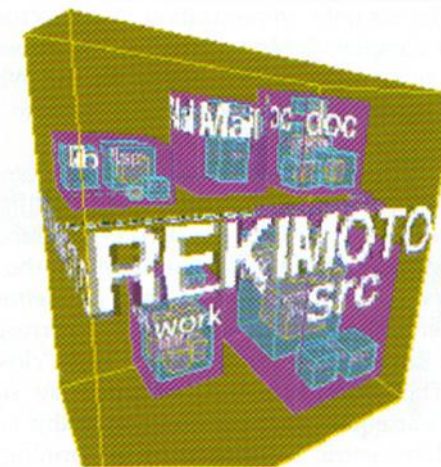
5.5 Exploration großer Graphen

3D Layout

- Nutzung von 3D-Ansätze zum Layout: Zwei Beispiele (plus Kegelbaum)
- Allerdings sind Eingabegeräte (noch) nicht effizient zur 3D-Navigation nutzbar



3D version of a radial algorithm. (Courtesy of S. Benford, University of Nottingham, U.K.)

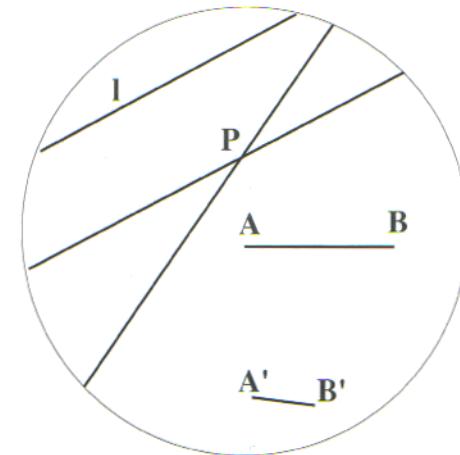


Information Cube. (Courtesy of J. Rekimoto, Sony Computer Science Laboratory, Inc., Japan [104].)

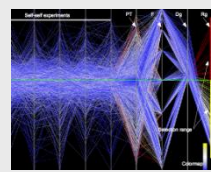
5.5 Exploration großer Graphen

Modelle der hyperbolischen Geometrie

- Sehr erfolgreich
- In dieser Geometrie gelten **Gesetze von Euklid**.
 - Aber: Zu einer Geraden gibt es **mehr als eine parallele Gerade** durch einen festen Punkt außerhalb der Geraden.
- Beim **Kleinmodell** (nach Felix Klein) wird Kreisscheibe in euklidischer Ebene benutzt.
 - Punkte liegen alle innerhalb
 - Geraden sind Sekanten (enden auf dem **Rand**)
 - Für hyperbolische Länge gibt es eine Formel, die Linienstücke gleicher hyperbolischer Länge im **euklidischen Sinne zum Rand** der Scheibe **immer kürzer** werden lässt

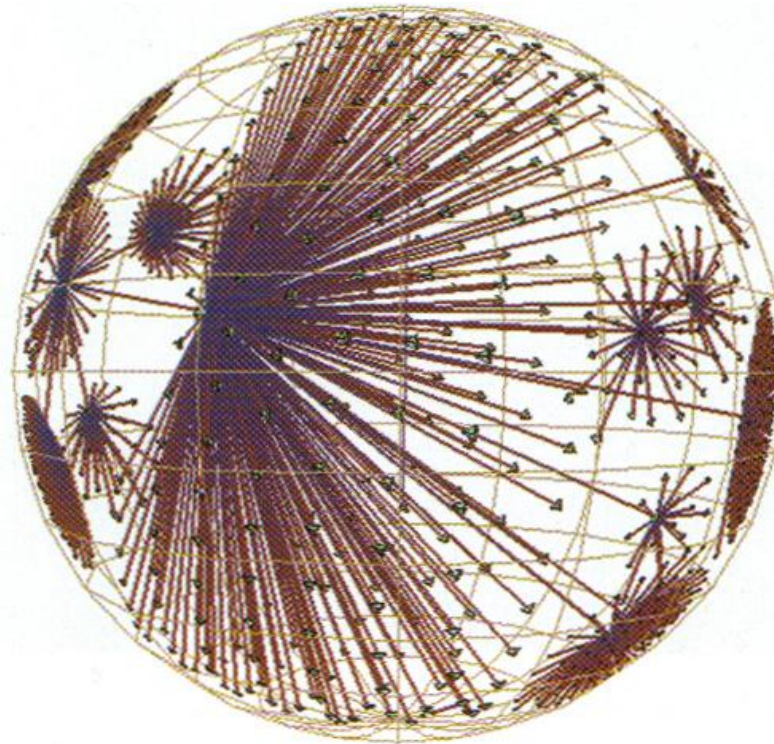


The Klein model for the hyperbolic plane. The line segment AB and $A'B'$ have an equal length in the hyperbolic sense.

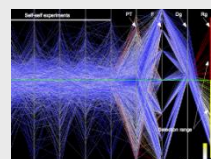


5.5 Exploration großer Graphen

- **Hyperbolischer Ansatz** legt nun Baum oder Graph in unendlich großen hyperbolischen Ebene aus und zeichnet das euklidische Modell



Hyperbolic view of a tree in 3D. (Courtesy of T. Munzner, Stanford University.)



5.5 Exploration großer Graphen

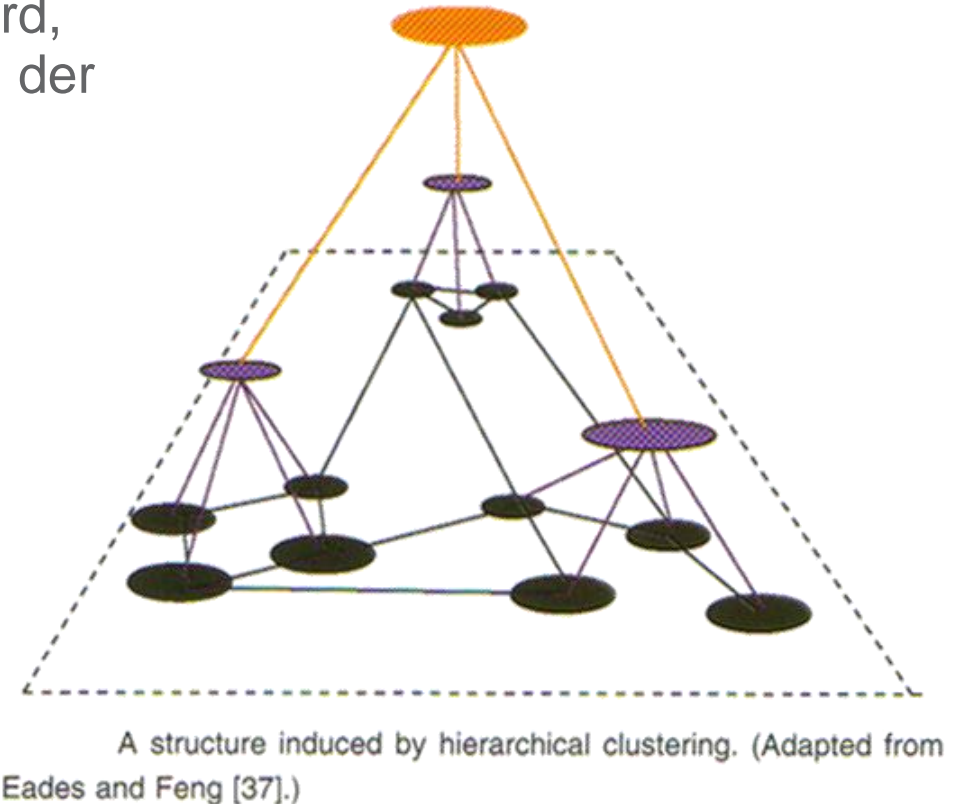
Clustering

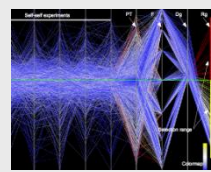
- Insbesondere, wenn **Graph zu groß** für Darstellung ist, kann man ihn **vereinfachen**
- Erfolgt in der Regel durch **Clustering der Knoten** mit folgenden Grundprinzipien:
 - **Structural-Clustering** - es wird nur aufgrund der **Struktur des Graphen** zusammengefasst
 - **Content-based Clustering** - es wird **Semantik** (insbesondere der Knoten) mit berücksichtigt
- Fast alle Verfahren basieren auf **Structural-Clustering**, da
 - es einfacher umzusetzen ist
 - Ansatz auf jeden Graphen unabhängig von Anwendungsdomäne angewendet werden kann

5.5 Exploration großer Graphen

Clustering, Forts.

- Es werden praktisch immer **disjunkte Cluster** erzeugt
- Aus Clustern wird neuer Graph erzeugt, indem
 - **Cluster zu Knoten werden** und
 - **Kante zwischen Clustern** gebildet wird, wenn eine Kante zwischen Elementen der Cluster existiert



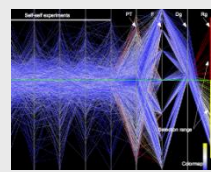


5.5 Exploration großer Graphen

Clustering, Forts.

- Für **Clustering** ist **Metrik der Knoten** nötig
- **Metriken** können strukturell oder inhaltsbasiert sein und ergeben so die beiden Typen des Clusterings.
- **Metrik von Furnas** mischt **Distanz von einem Knoten** zum anderen mit **gewünschten Detailgrad** für jeweiligen Bereich des Graphen

[Furnas, Generalized Fisheye Views, Human Factors in Computing Systems, CHI'86 Conference Proceedings, 1986, 16-23]

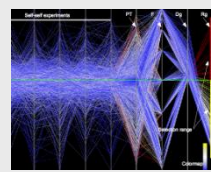


5.5 Exploration großer Graphen

Clustering, Forts.

- Man kann Knoten und Kanten auch einfach einen **Relevanzwert** geben
- Für Repräsentation gibt es drei verschiedene Ansätze
 - **Ghosting** - unwichtige Kanten und Knoten treten in **Hintergrund**
 - **Hiding** - unwichtige Elemente **weglassen**
 - **Grouping** - unwichtige Elemente **zusammenfassen**

[Kimelman, Leban, Roth, Zernik, Reduction of visual complexity in dynamic graphs, Proc. Symp. Graph Drawing GD'94, 1994]



5.5 Exploration großer Graphen

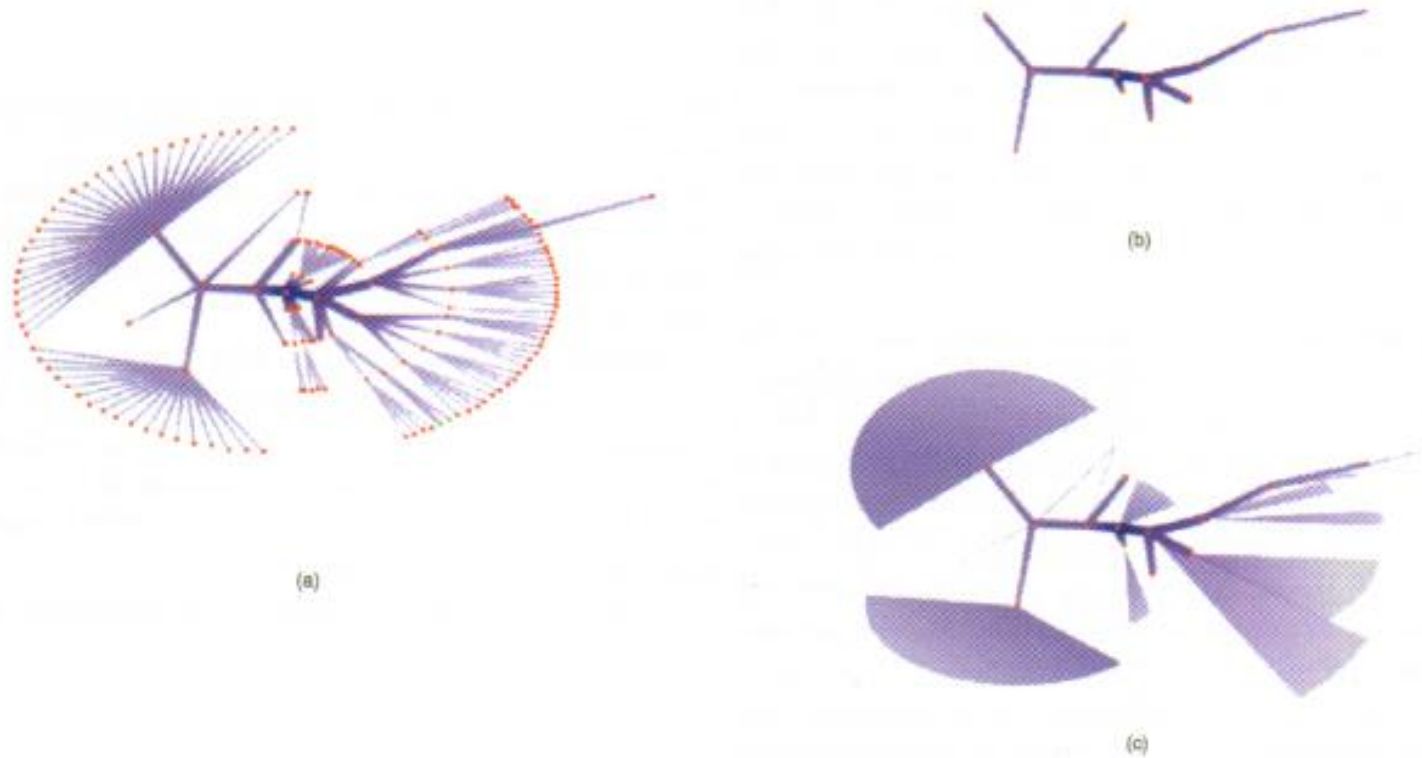
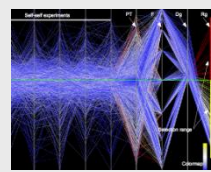
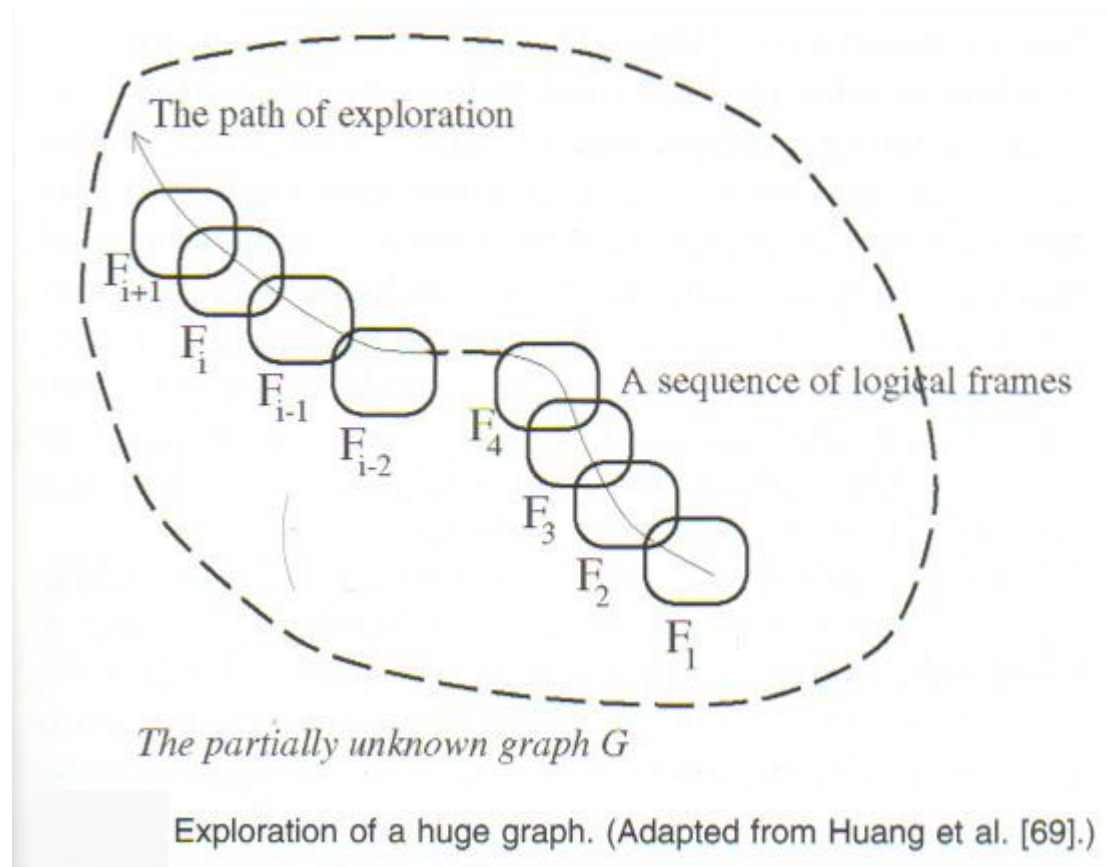


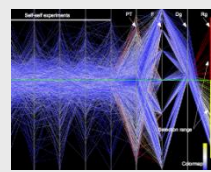
Fig. 22. Different schematic views of a tree: (a) ghosting, (b) hiding, and (c) grouping.



5.5 Exploration großer Graphen

- Große Graphen mit Hilfe einer **Fensterertechnik** untersuchen

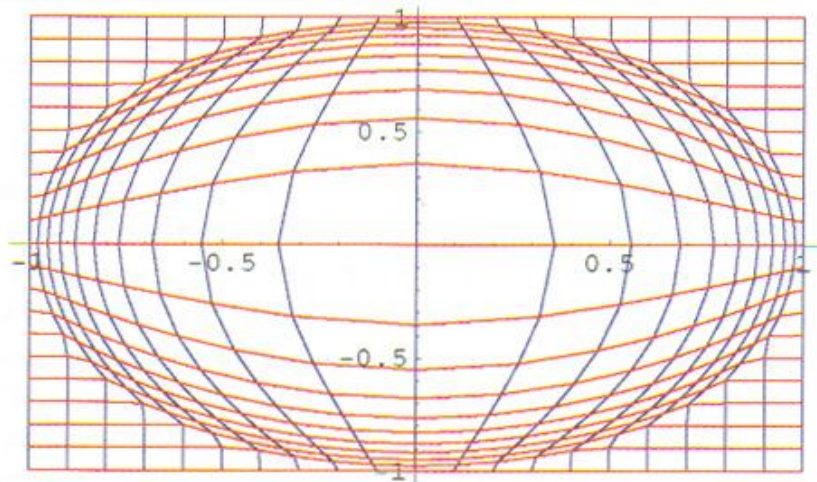




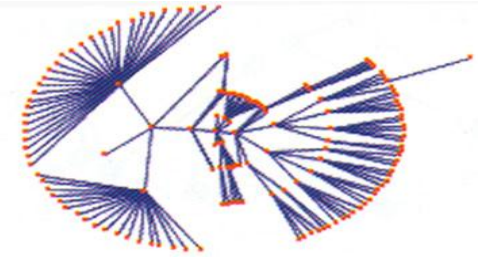
5.5 Exploration großer Graphen

Exploration

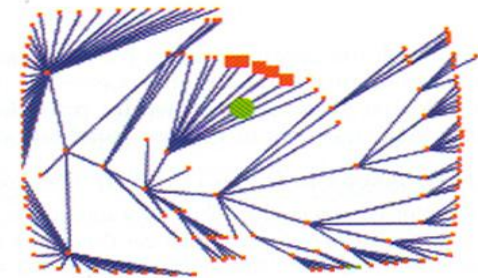
- Bei großen Graphen kann eine **Fischaugenprojektion** zur Untersuchung helfen



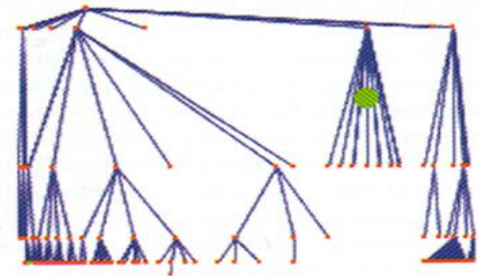
Fisheye distortion of a regular grid of the plane. The distortion factor is 4.



(a)

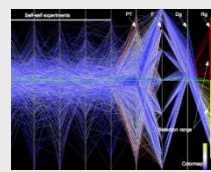


(b)



(c)

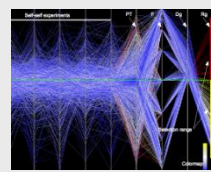
Fisheye distortion. (a) Represents the graph without the fisheye. (b) Uses polar fisheye, whereas (c) uses Cartesian fisheye with a different layout of the same graph. The green dots on (b) and (c) denote the focal points of the fisheye distortion. Note the extra edge-crossing on (b).



5.6 Ausblick

Offene Fragen und Trends

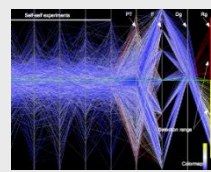
- **Visualisierung sehr großer Graphen** mit mehreren Millionen oder gar Milliarden Knoten und Kanten (z.B. der Abstammungsbaum aller biologischen Arten, alle Webseiten, alle Festnetztelefone, das momentane Handynetz, Internet,...)
- Ansätze des Graphenzeichnens müssen mit **schneller Interaktion** und **effizienten Datenstrukturen** verknüpft werden
- Einige Graphentypen sind bisher weniger beachtet worden:
Hypergraphen
 - Lassen sich als bipartite Graphen auffassen
 - Wenn für jede Hyperkante ein Zusatzknoten eingefügt wird
 - Ist dann mit beteiligten Knoten verbunden und können dann gezeichnet werden.
 - Anwendungen (z. B. Stoffwechsel in der Biologie) erfordern jedoch besondere Erweiterungen, die Gegenstand aktueller Arbeiten sind.



5.6 Ausblick

Offene Fragen und Trends

- Fragen offen trotz vieler Ansätze bei
 - Visualisierung **komplexer Ströme in Netzwerken**
 - **Übergang zu Prozessen**



Literatur

- Herman, Melancon, Marshall. Graph Visualization and Navigation in Information Visualization: A Survey. IEEE TVCG 6(1): 24-43, 2000
- G. Di Battista, P. Eades, R. Tomassia, I. G. Tollis. Graph Drawing. Prentice-Hall, Upper Saddle River, NJ, USA, 1999